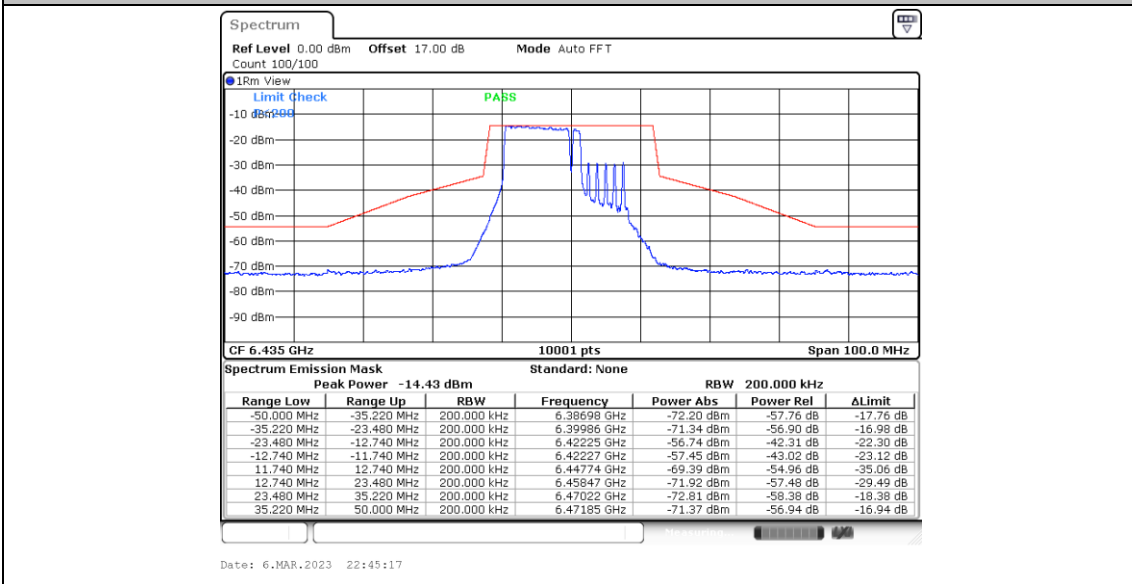
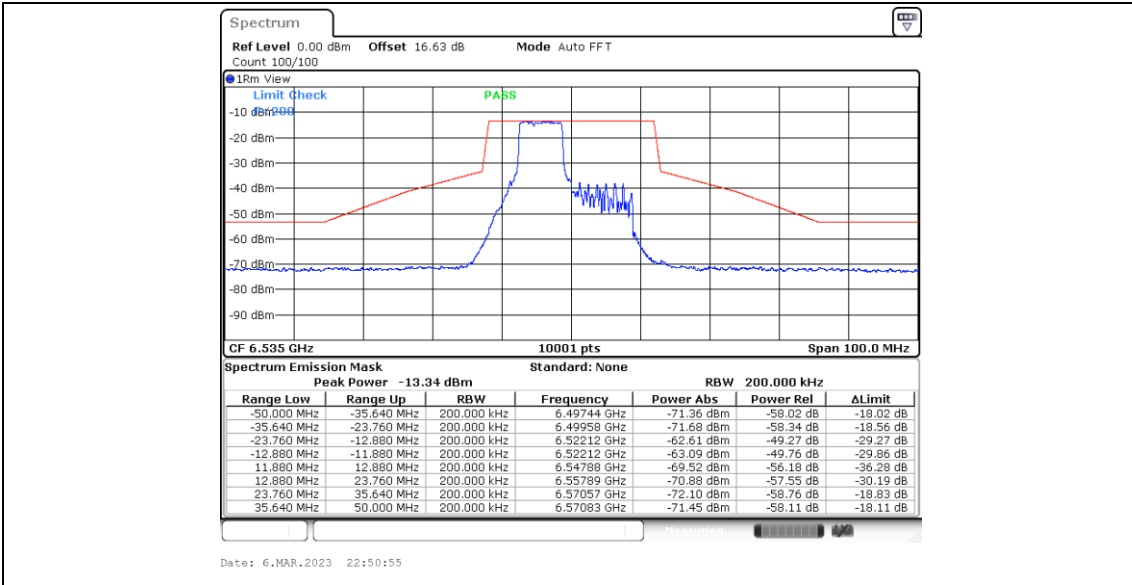


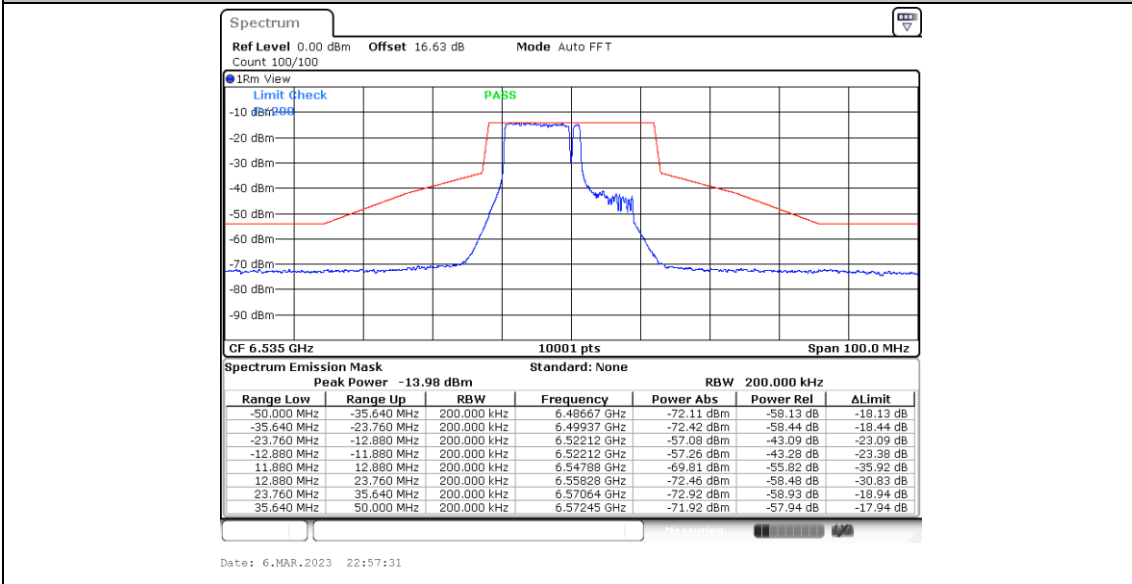
11BE20MIMO_Ant6_6435_106+26_OFDMA_1



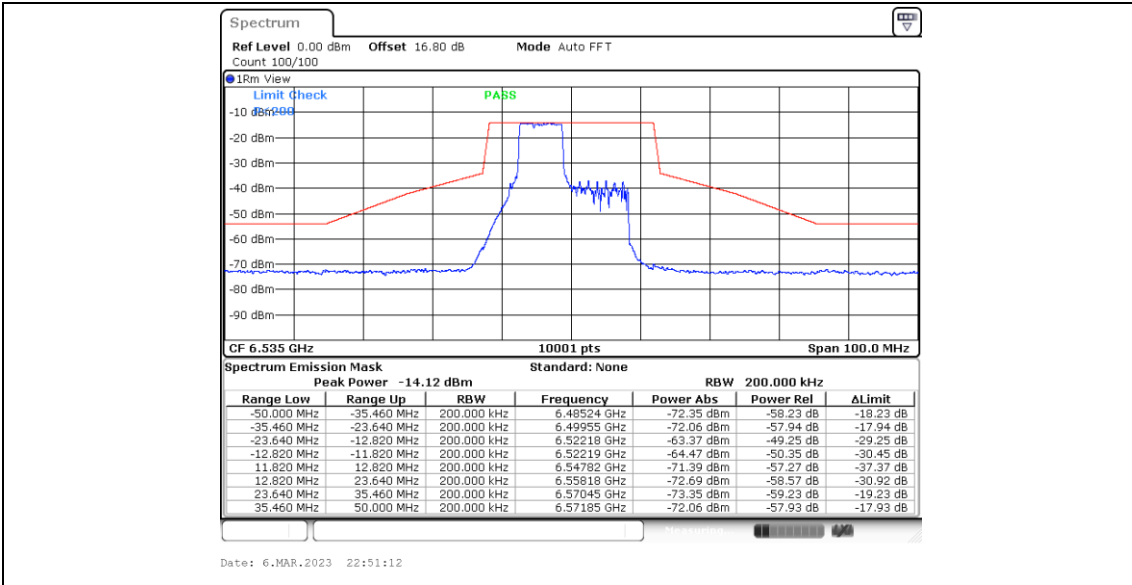
11BE20MIMO_Ant5_6535_52+26_OFDMA_1



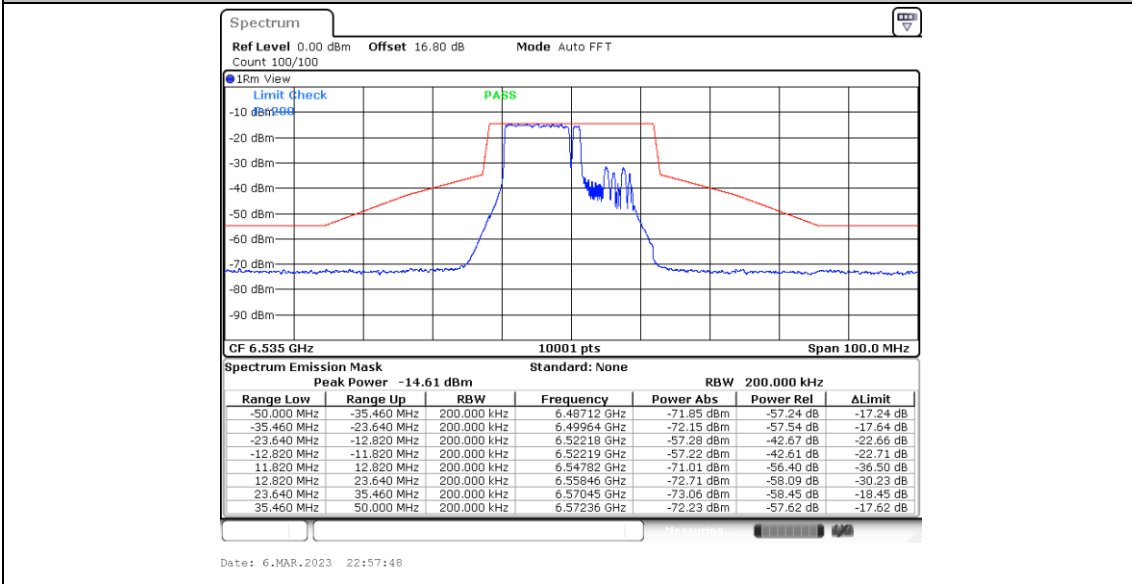
11BE20MIMO_Ant5_6535_106+26_OFDMA_1



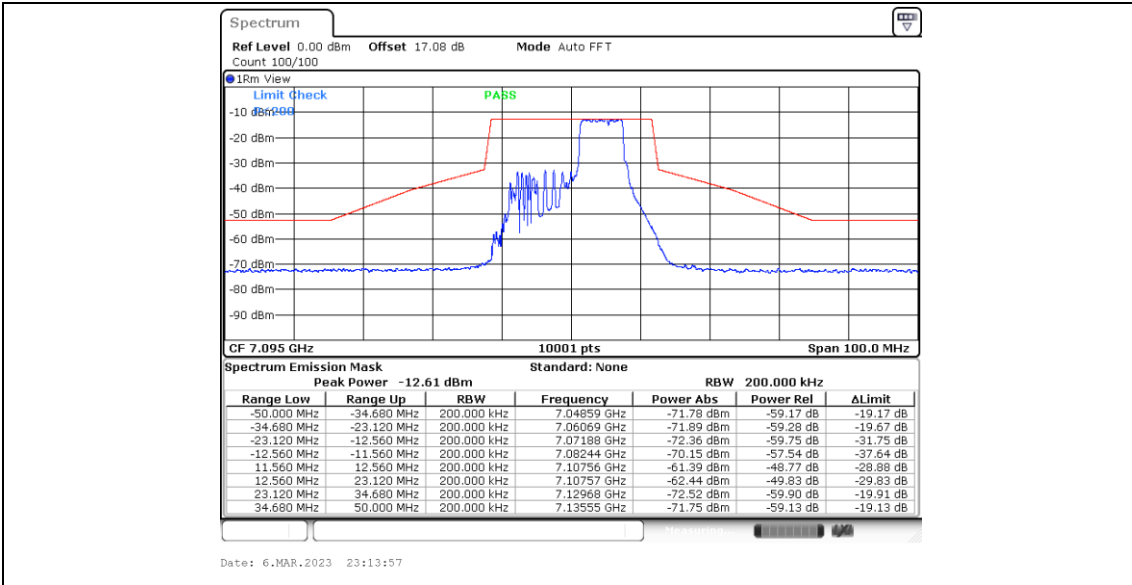
11BE20MIMO_Ant6_6535_52+26_OFDMA_1



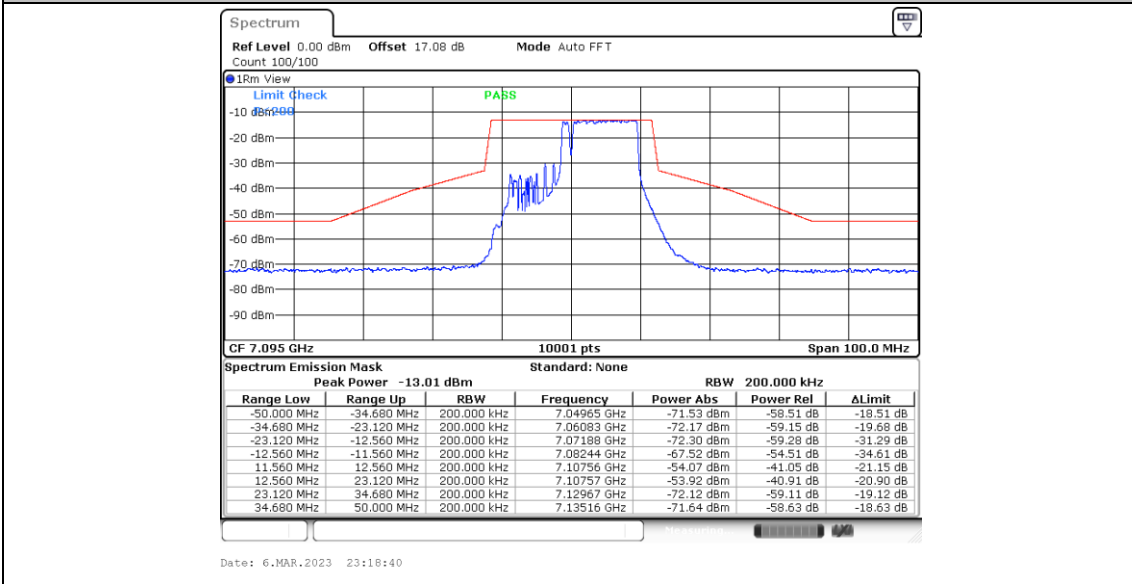
11BE20MIMO_Ant6_6535_106+26_OFDMA_1



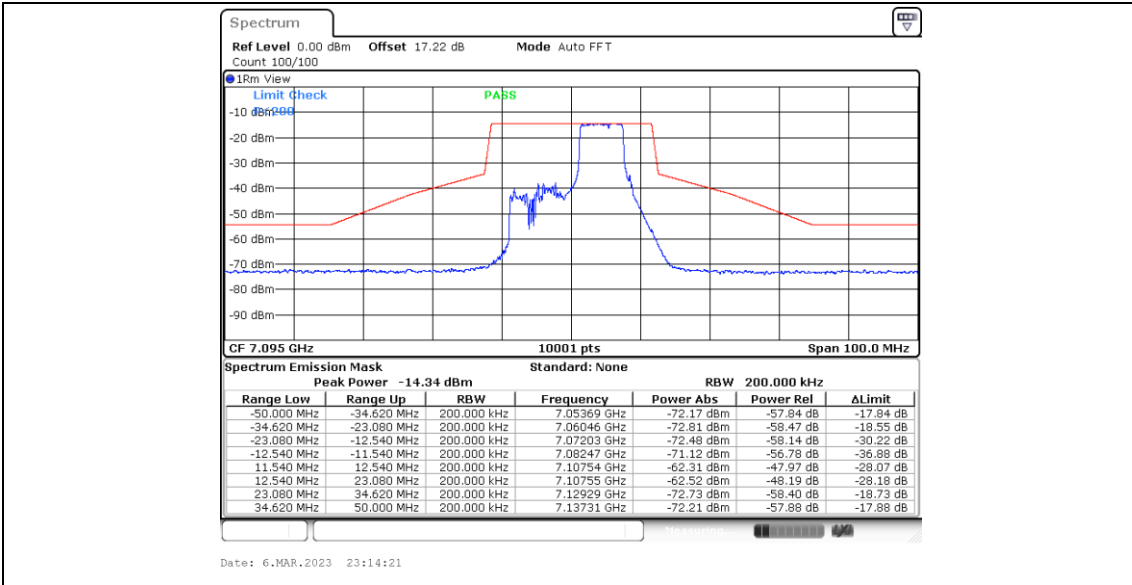
11BE20MIMO_Ant5_7095_52+26_OFDMA_3



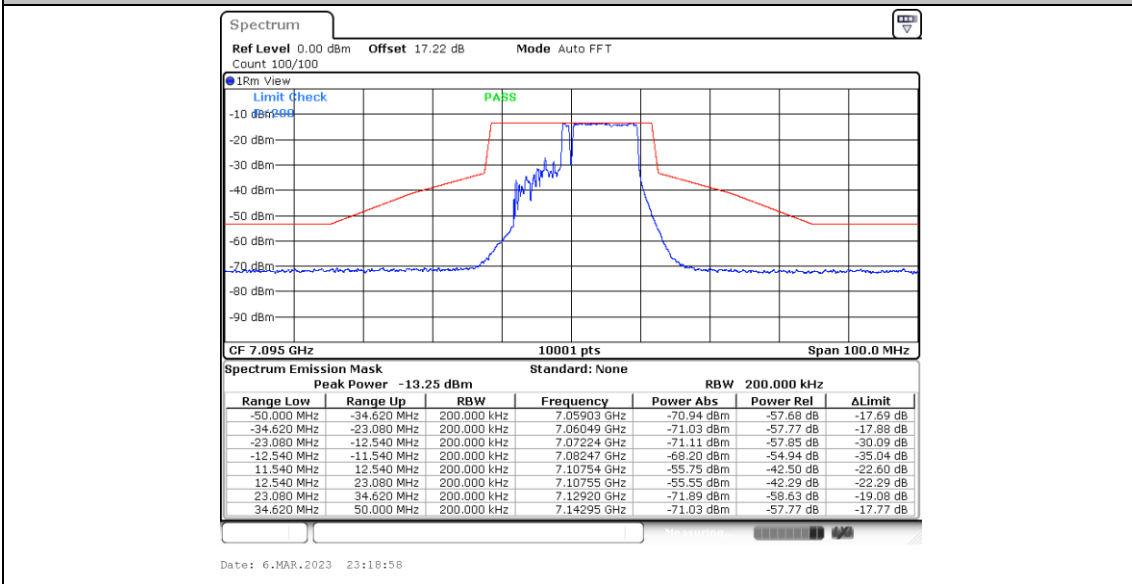
11BE20MIMO_Ant5_7095_106+26_OFDMA_2



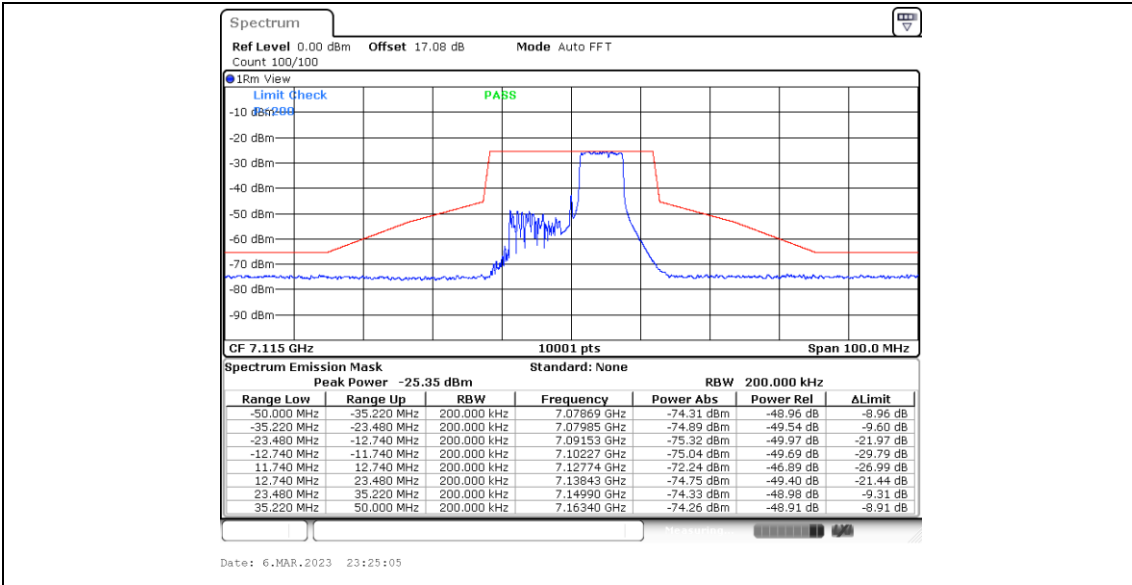
11BE20MIMO_Ant6_7095_52+26_OFDMA_3



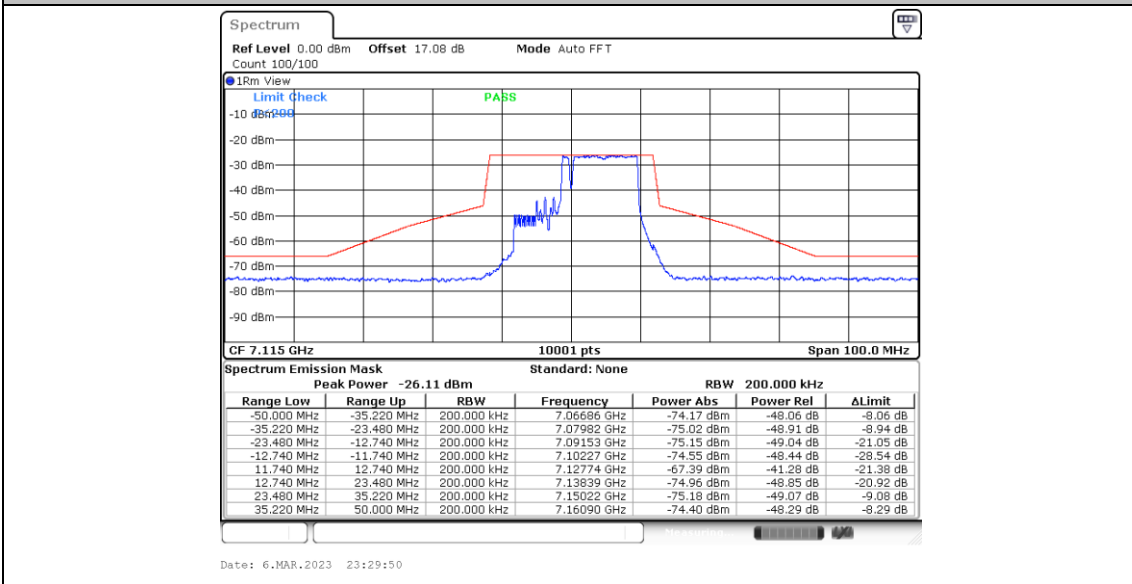
11BE20MIMO_Ant6_7095_106+26_OFDMA_2



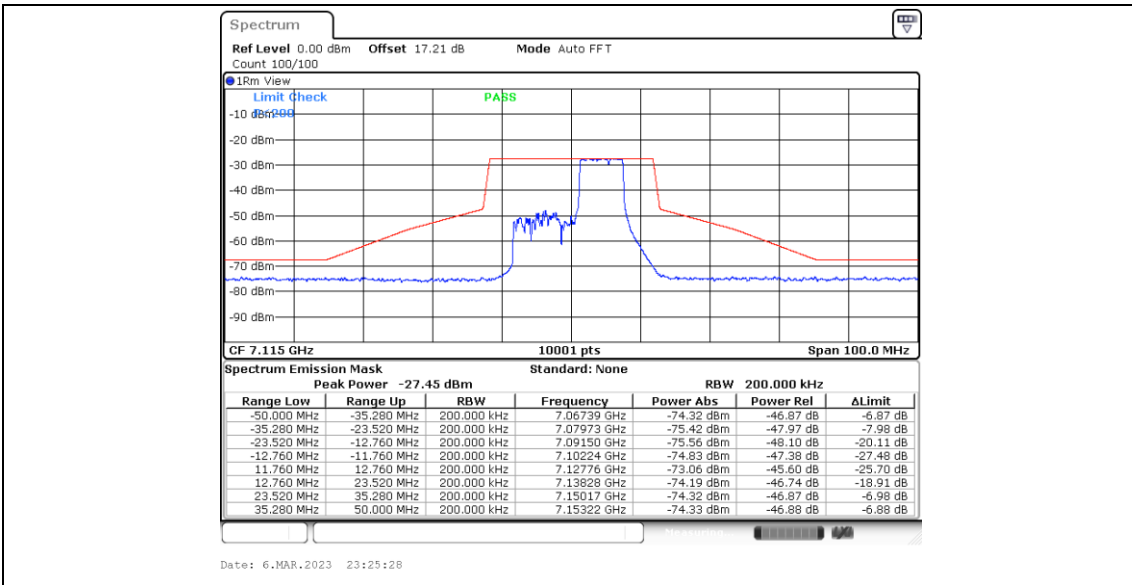
11BE20MIMO_Ant5_7115_52+26_OFDMA_3



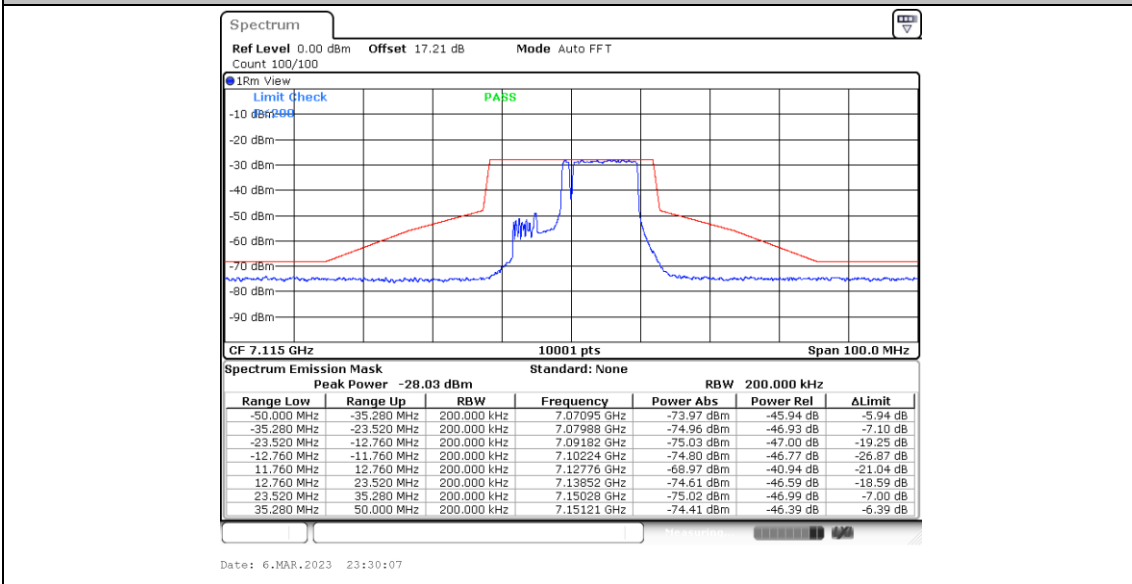
11BE20MIMO_Ant5_7115_106+26_OFDMA_2



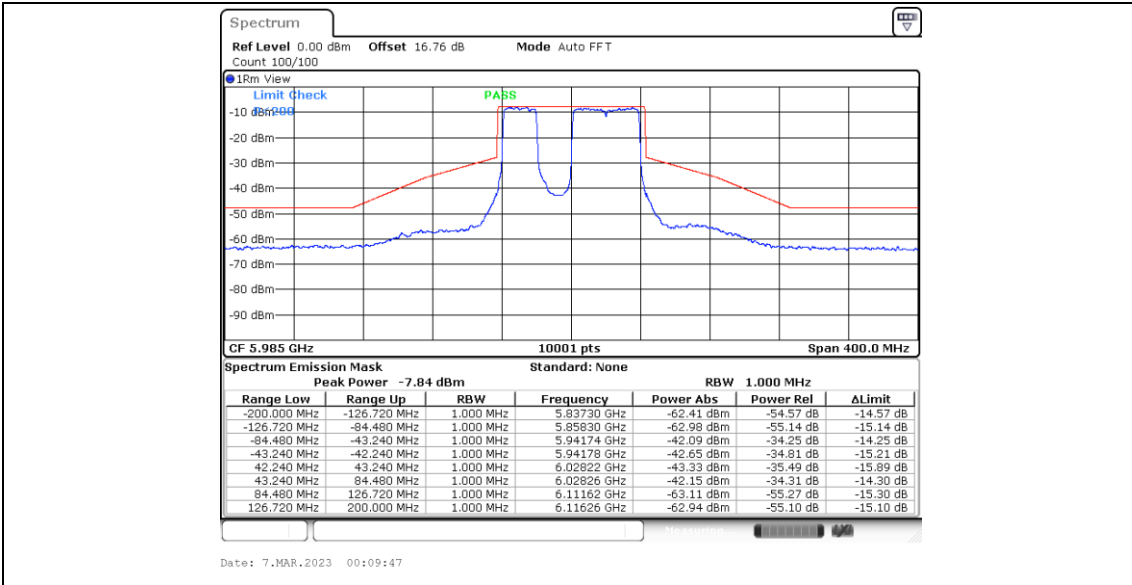
11BE20MIMO_Ant6_7115_52+26_OFDMA_3



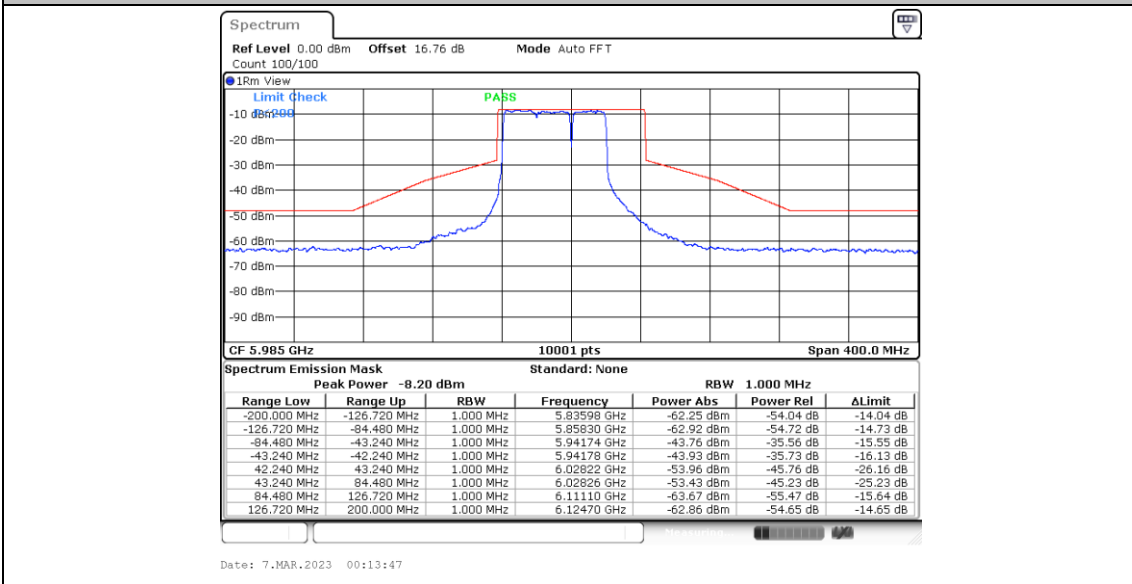
11BE20MIMO_Ant6_7115_106+26_OFDMA_2



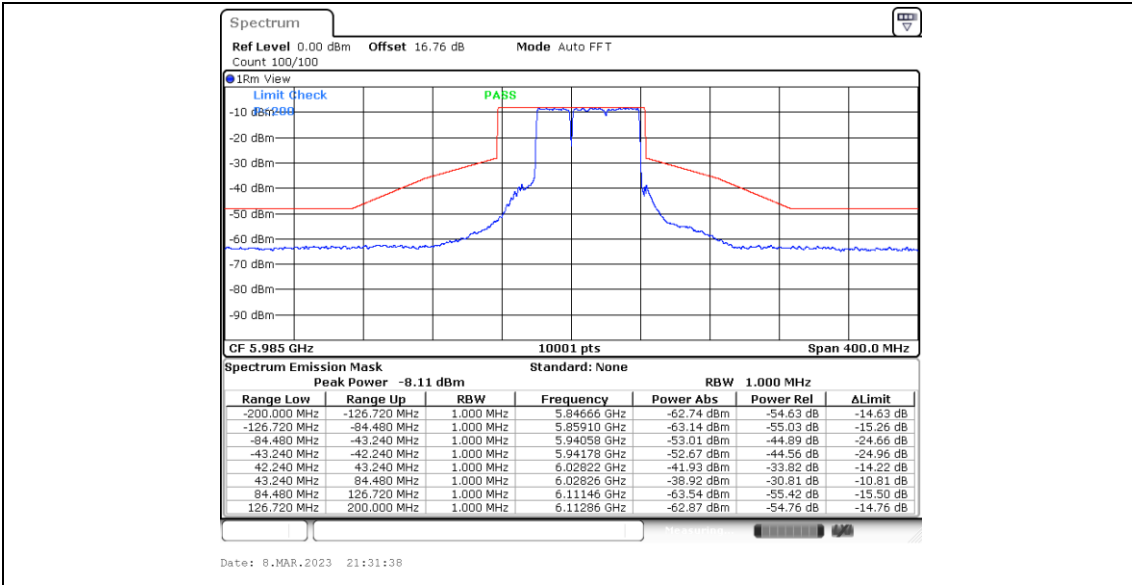
11BE80MIMO_Ant5_5985_Large RU 484+242_2



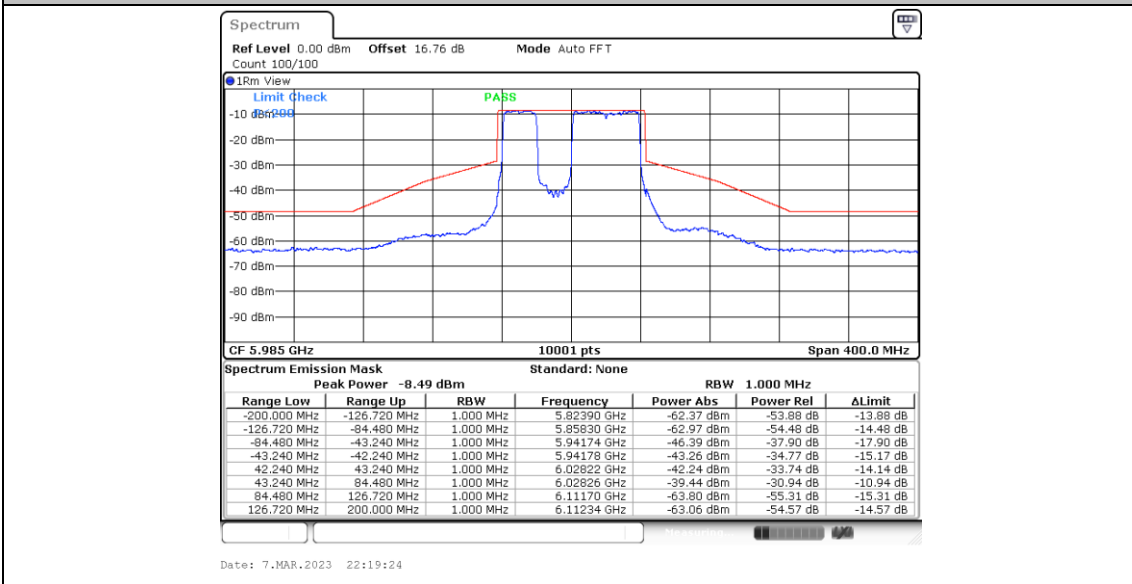
11BE80MIMO_Ant5_5985_Large RU 484+242_4



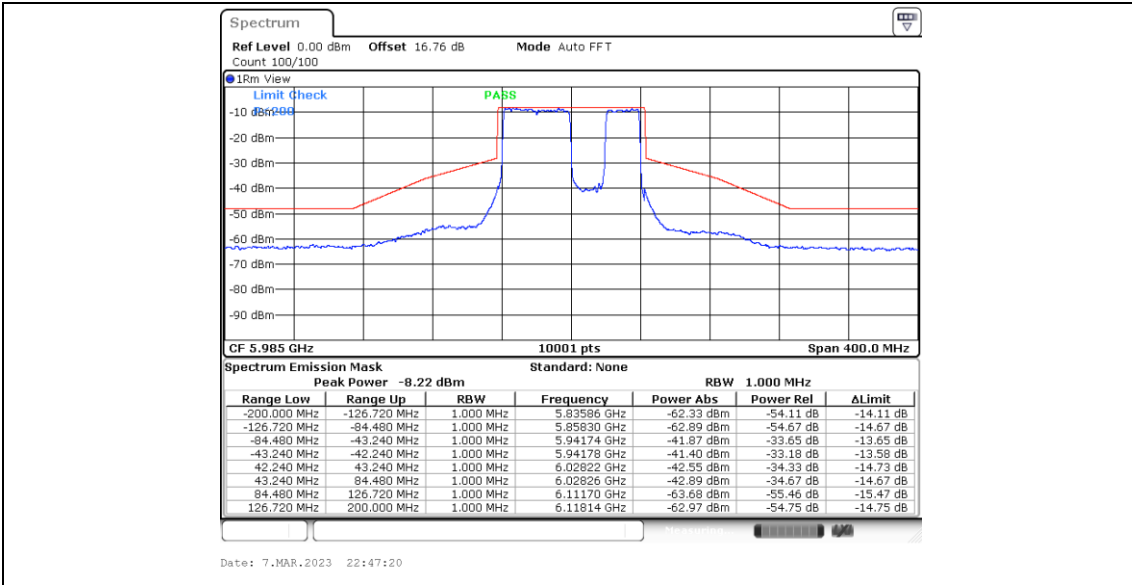
11BE80MIMO_Ant5_5985_Puncturing 20M_1



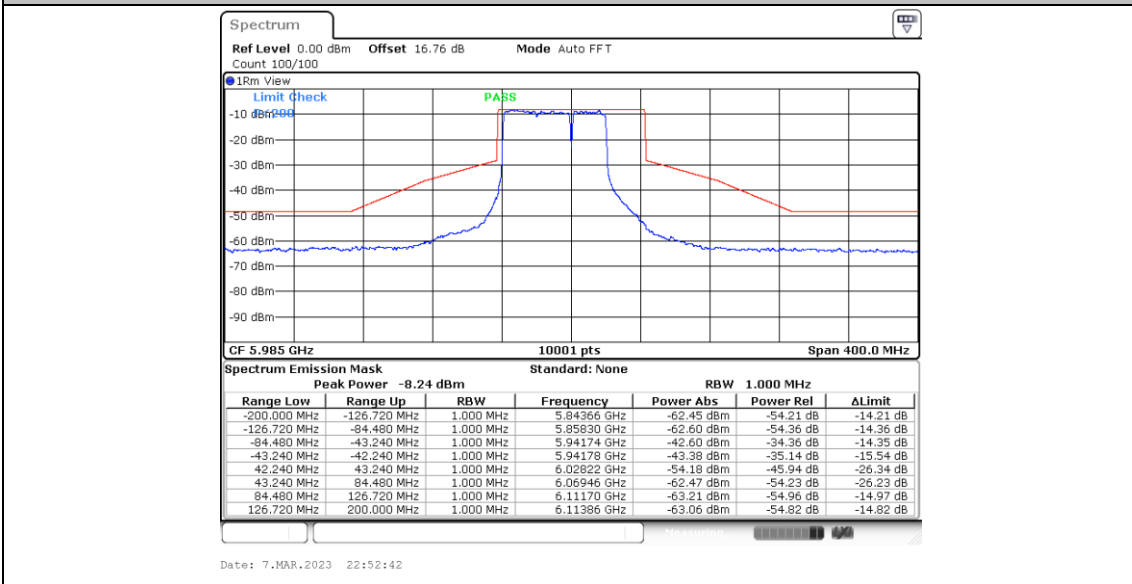
11BE80MIMO_Ant5_5985_Puncturing 20M_2



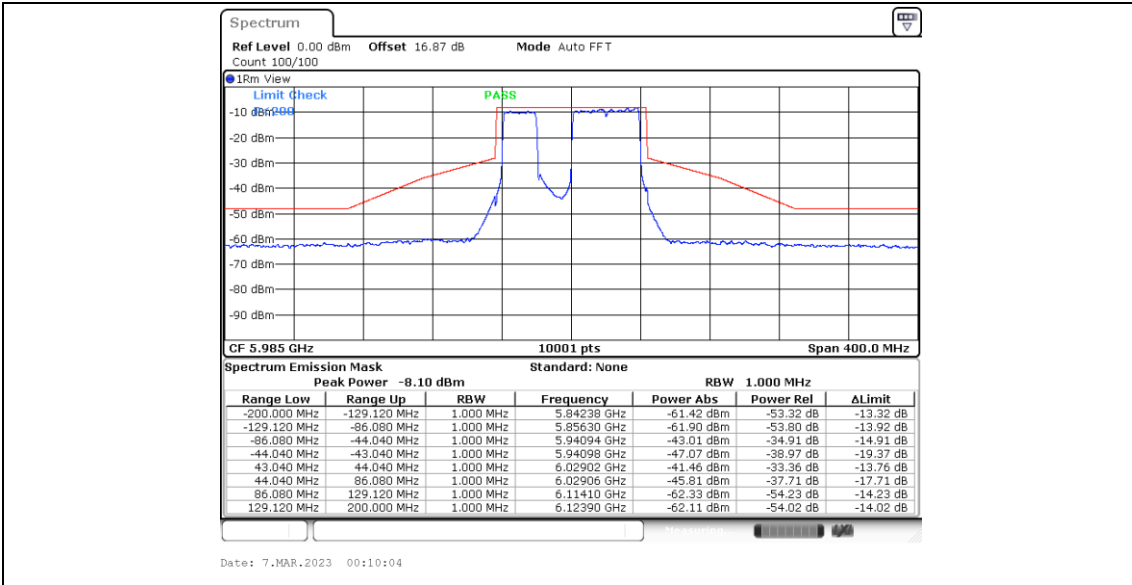
11BE80MIMO_Ant5_5985_Puncturing 20M_3



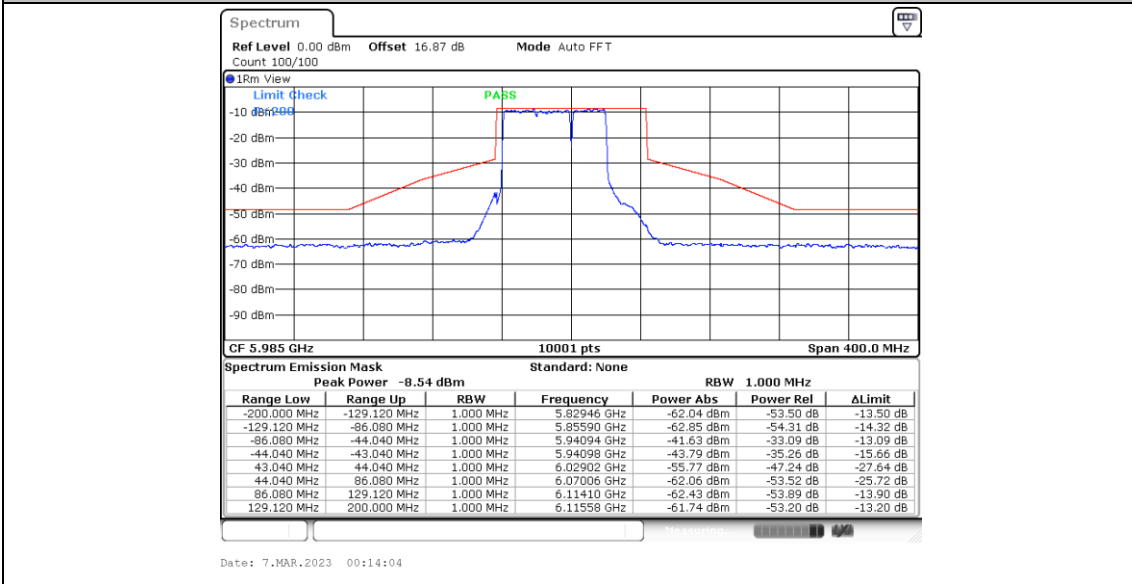
11BE80MIMO_Ant5_5985_Puncturing 20M_4



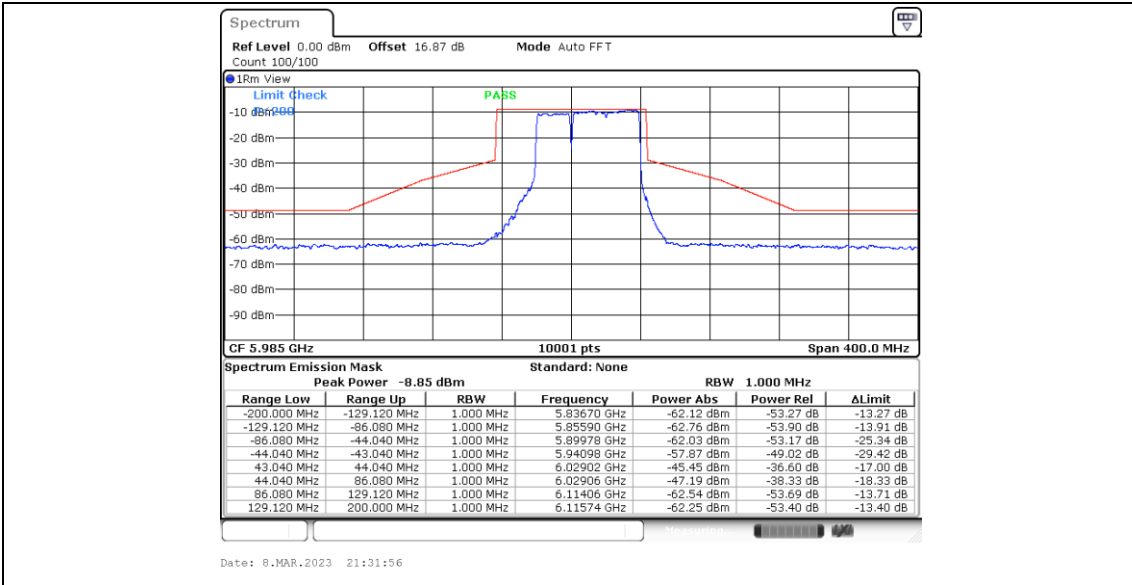
11BE80MIMO_Ant6_5985_Large RU 484+242_2



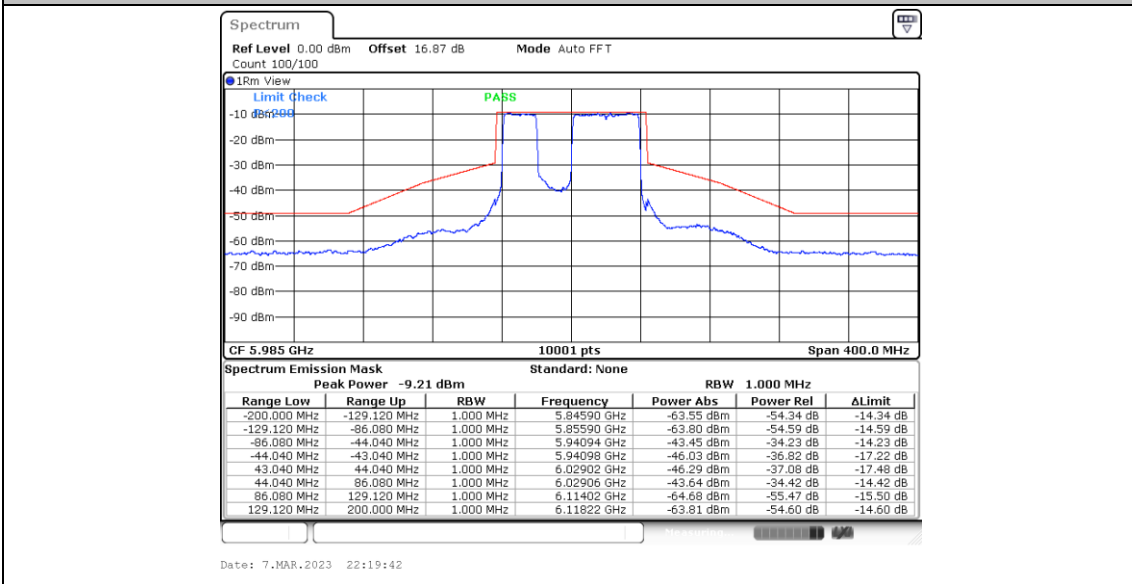
11BE80MIMO_Ant6_5985_Large RU 484+242_4



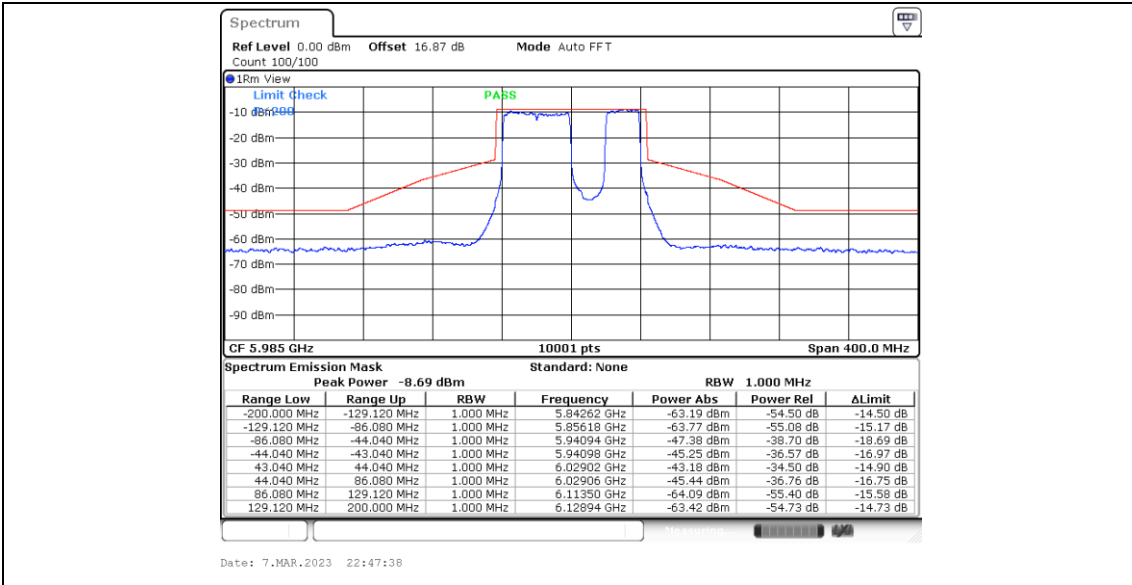
11BE80MIMO_Ant6_5985_Puncturing 20M_1



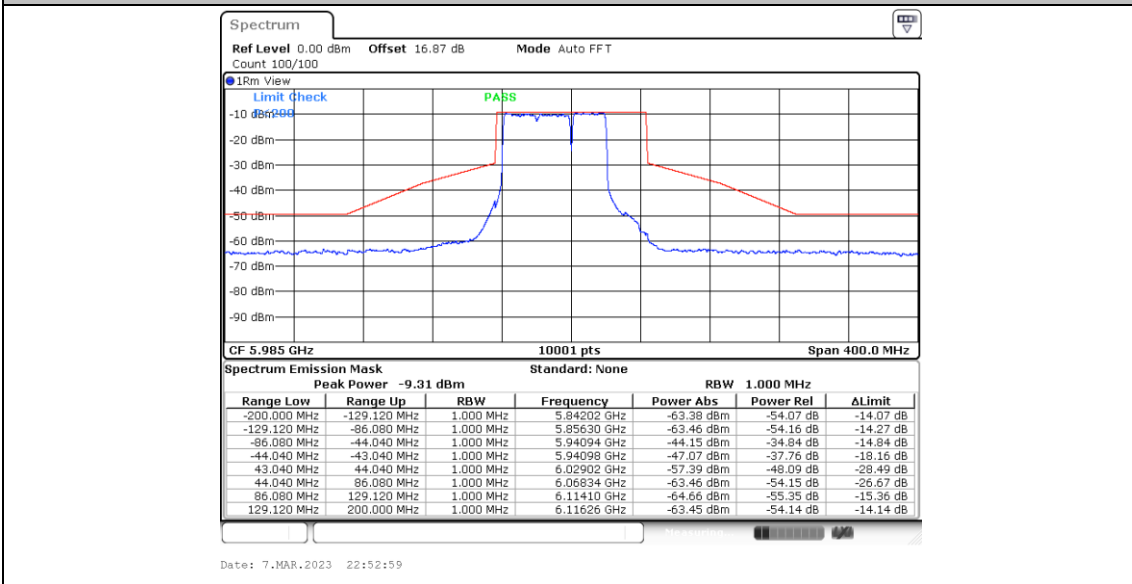
11BE80MIMO_Ant6_5985_Puncturing 20M_2



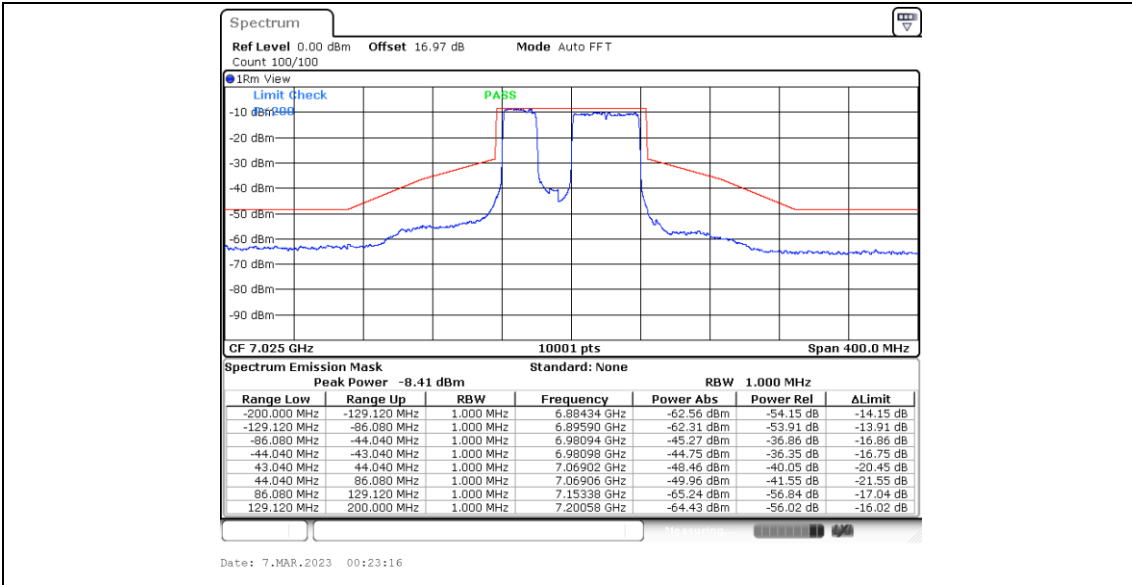
11BE80MIMO_Ant6_5985_Puncturing 20M_3



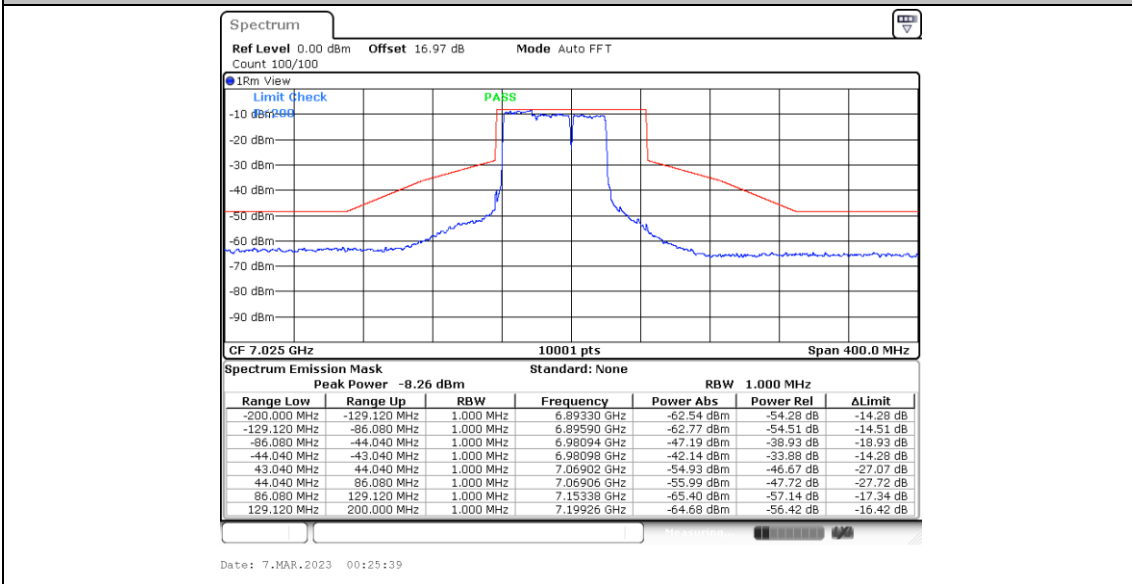
11BE80MIMO_Ant6_5985_Puncturing 20M_4



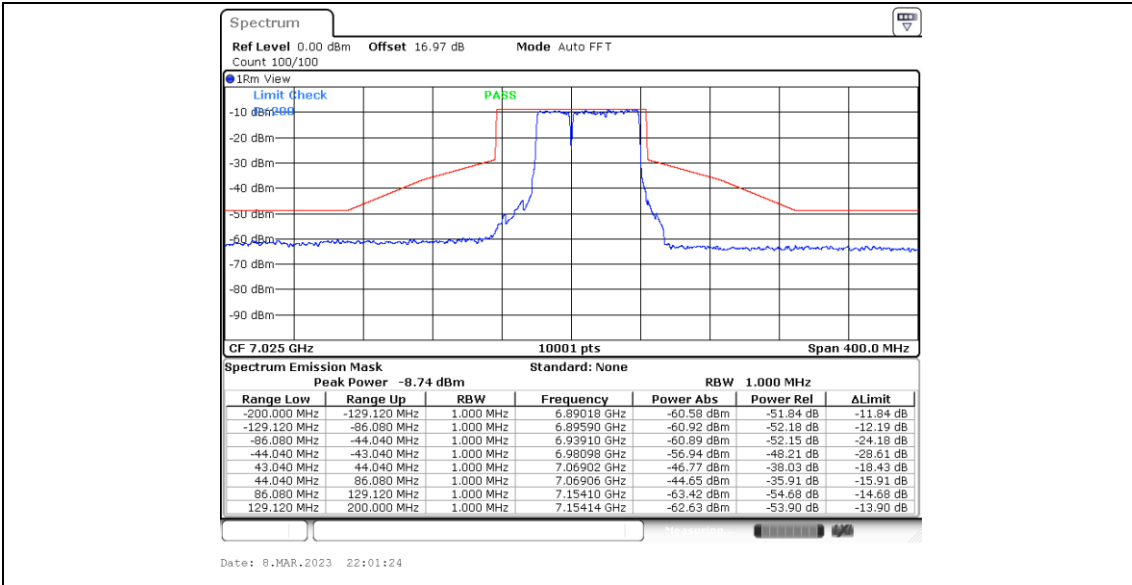
11BE80MIMO_Ant5_7025_Large RU 484+242_2



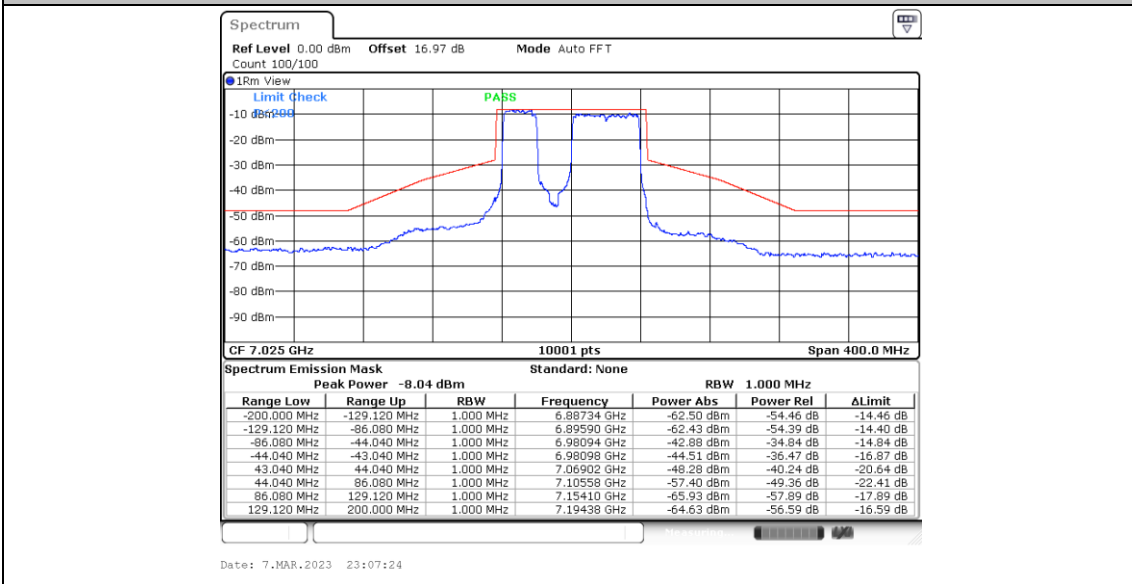
11BE80MIMO_Ant5_7025_Large RU 484+242_4



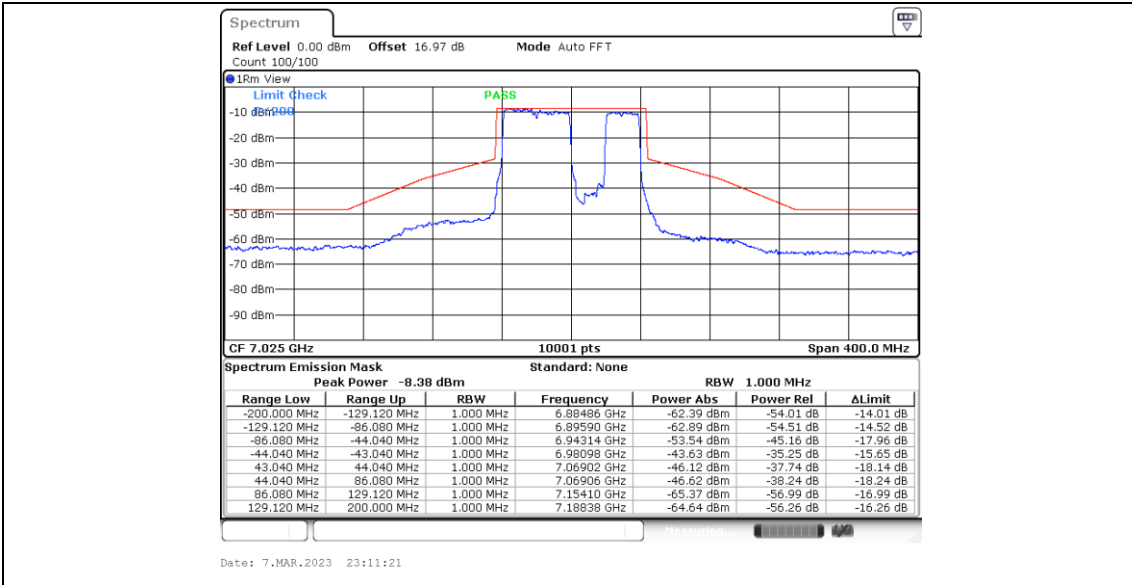
11BE80MIMO_Ant5_7025_Puncturing 20M_1



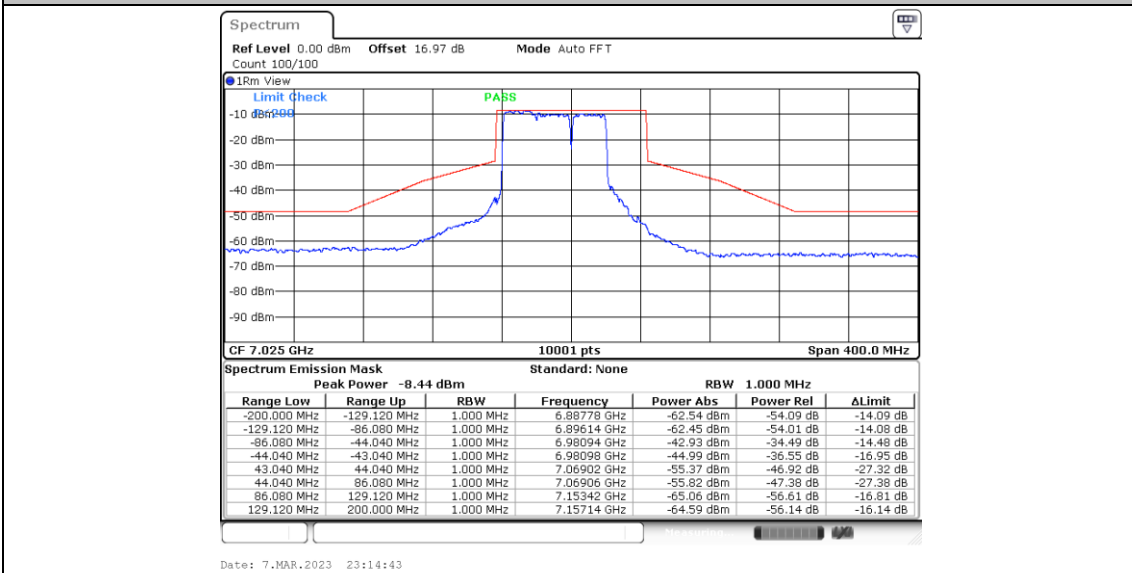
11BE80MIMO_Ant5_7025_Puncturing 20M_2



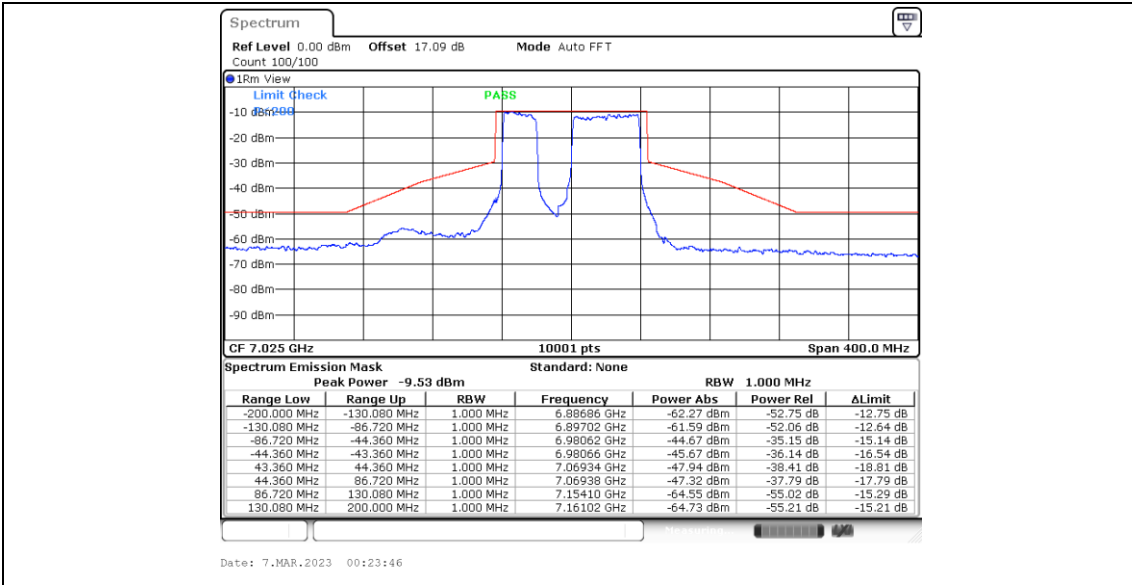
11BE80MIMO_Ant5_7025_Puncturing 20M_3



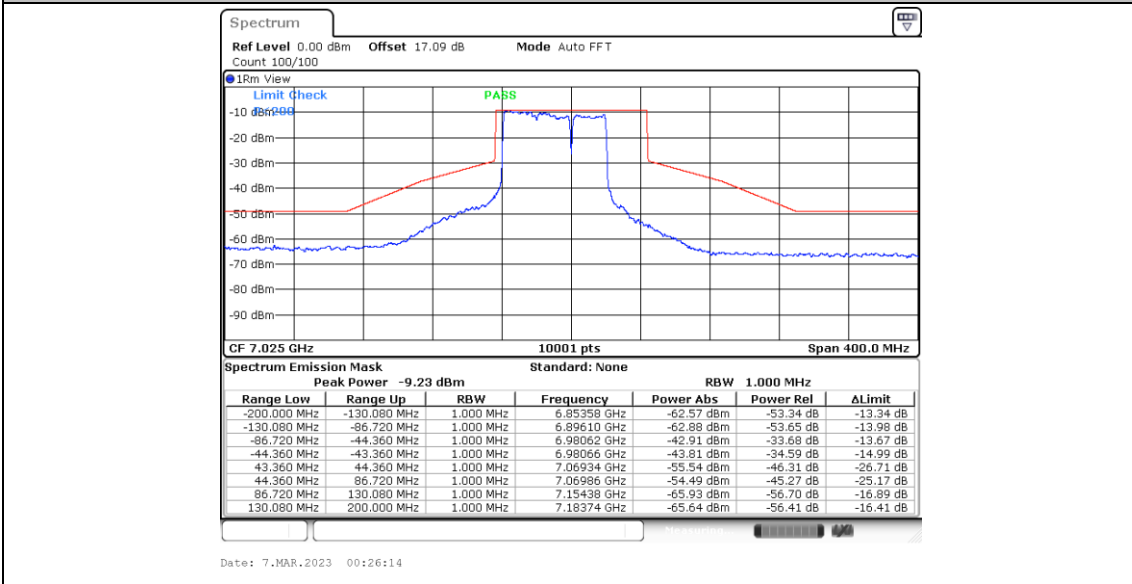
11BE80MIMO_Ant5_7025_Puncturing 20M_4



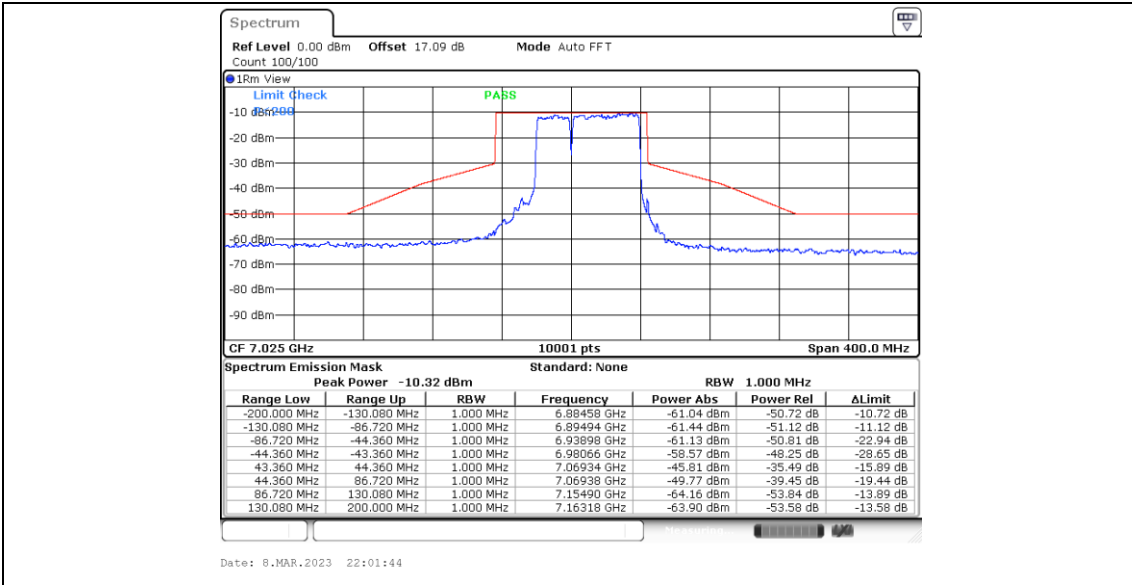
11BE80MIMO_Ant6_7025_Large RU 484+242_2



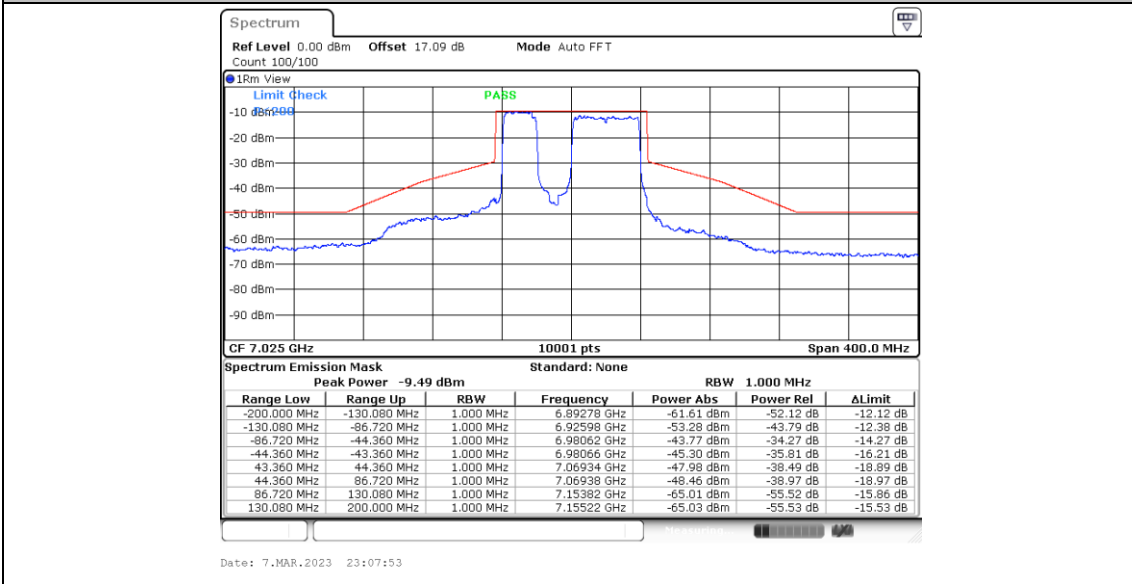
11BE80MIMO_Ant6_7025_Large RU 484+242_4



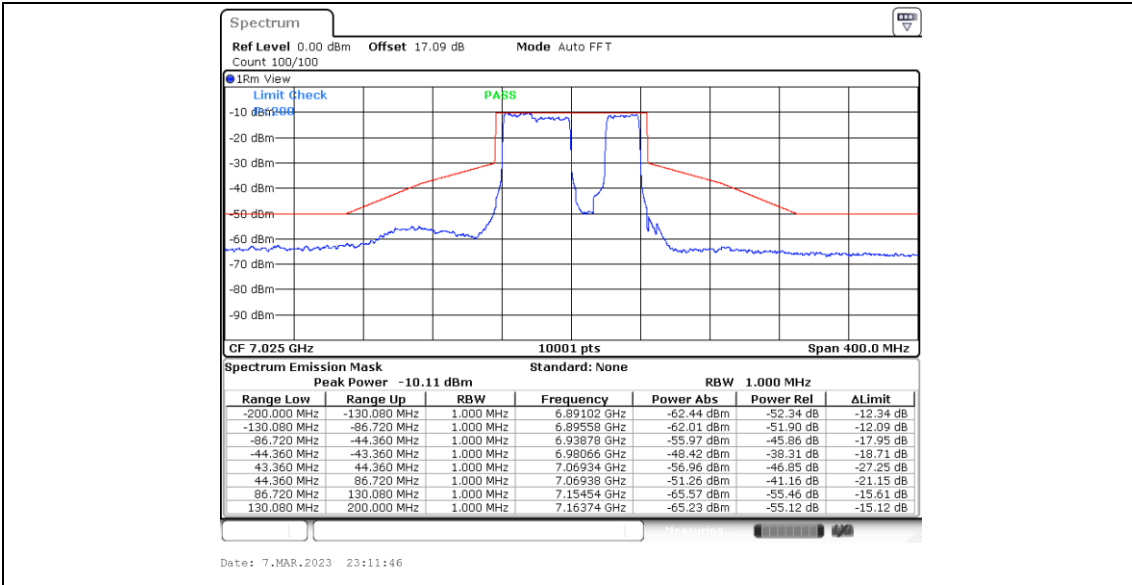
11BE80MIMO_Ant6_7025_Puncturing 20M_1



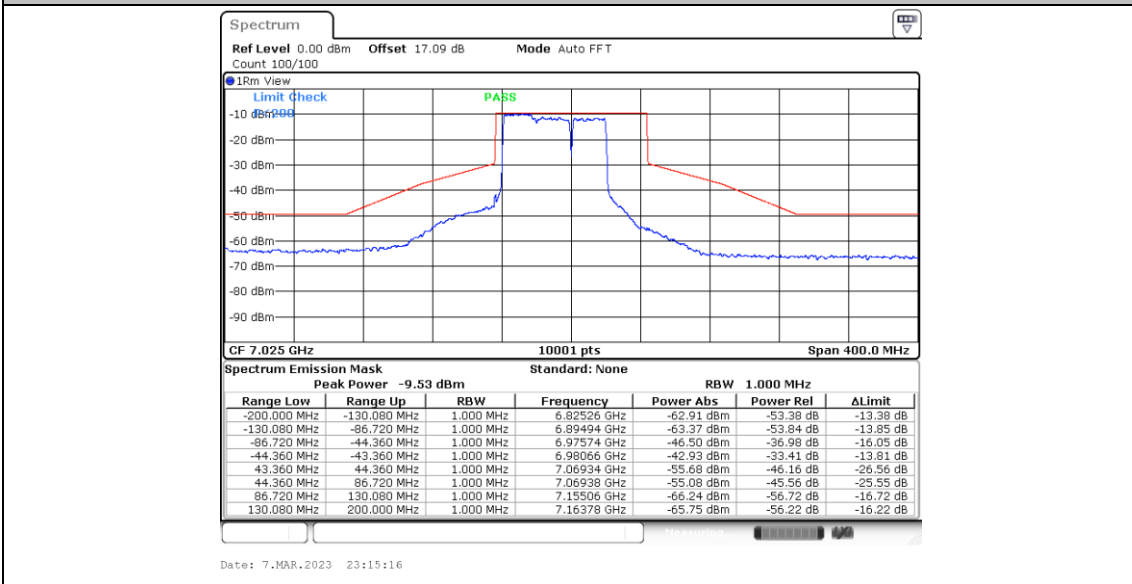
11BE80MIMO_Ant6_7025_Puncturing 20M_2



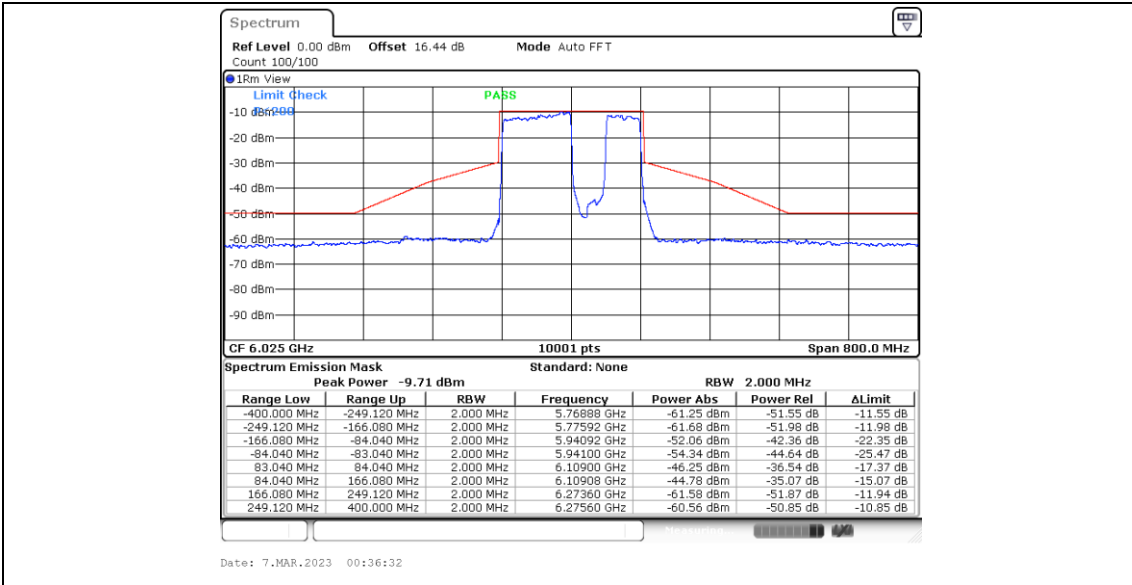
11BE80MIMO_Ant6_7025_Puncturing 20M_3



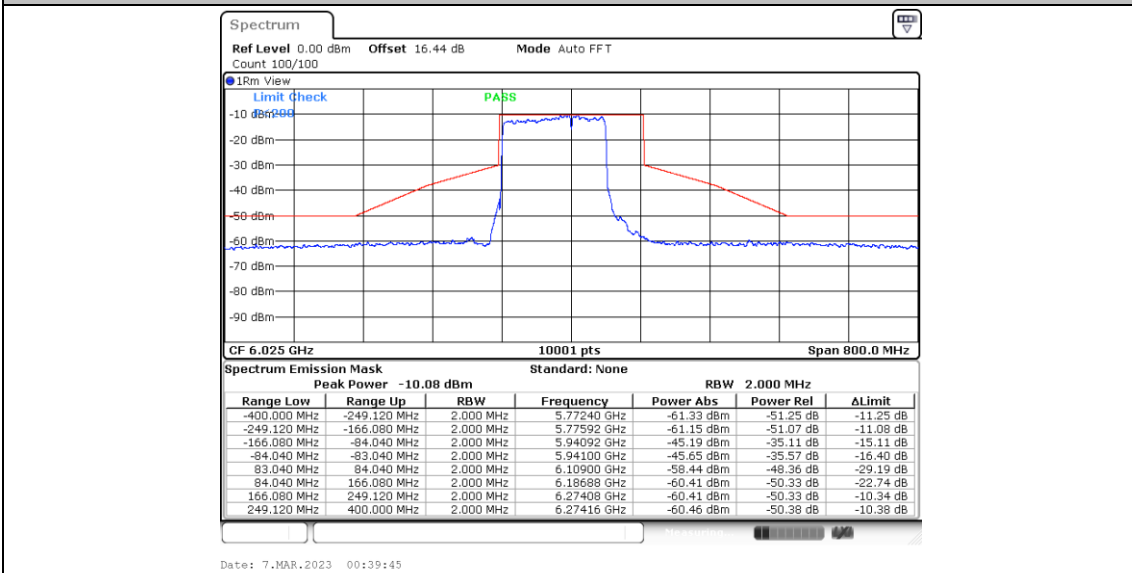
11BE80MIMO_Ant6_7025_Puncturing 20M_4



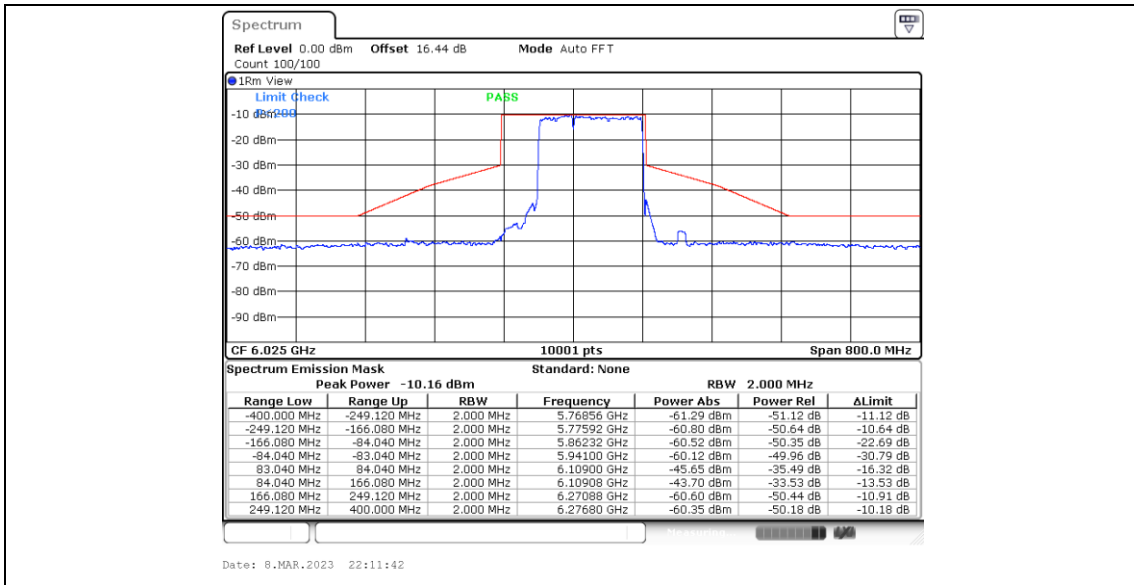
11BE160MIMO_Ant5_6025_Large RU 996+484_3



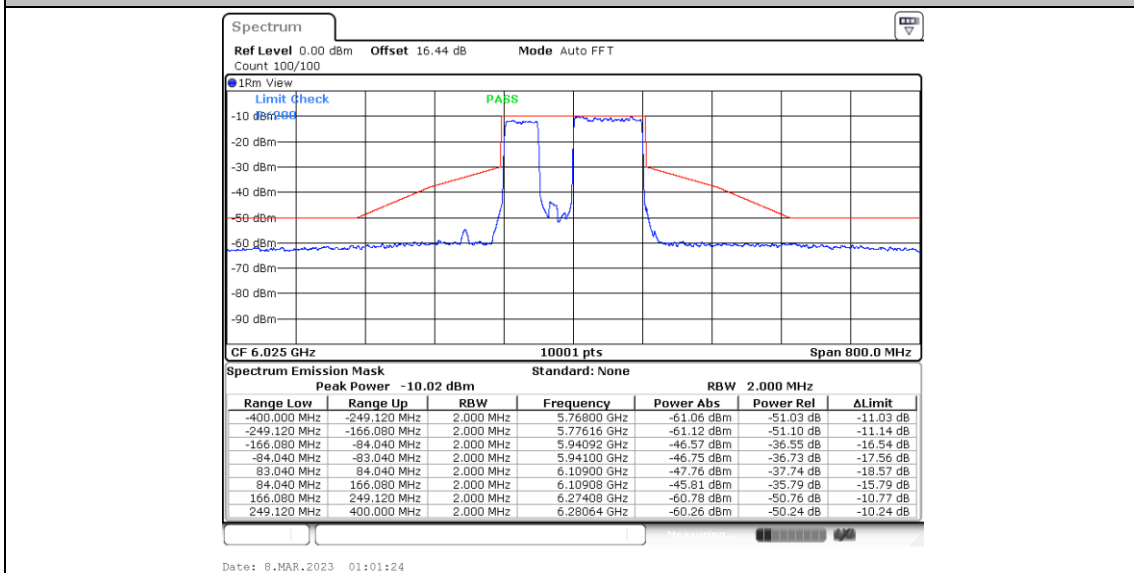
11BE160MIMO_Ant5_6025_Large RU 996+484_4



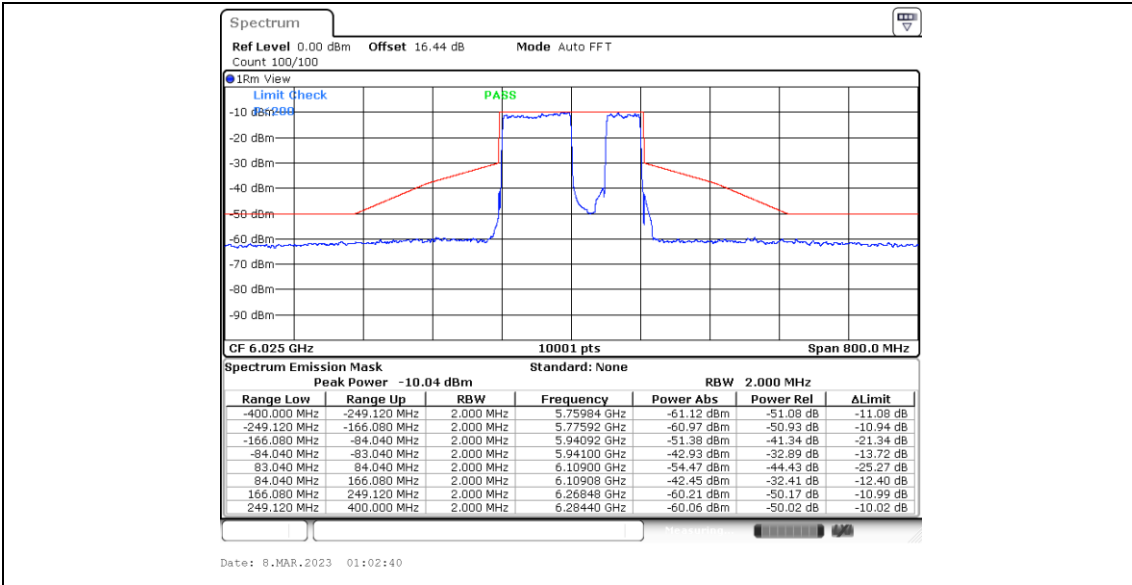
11BE160MIMO_Ant5_6025_Puncturing 40M_1



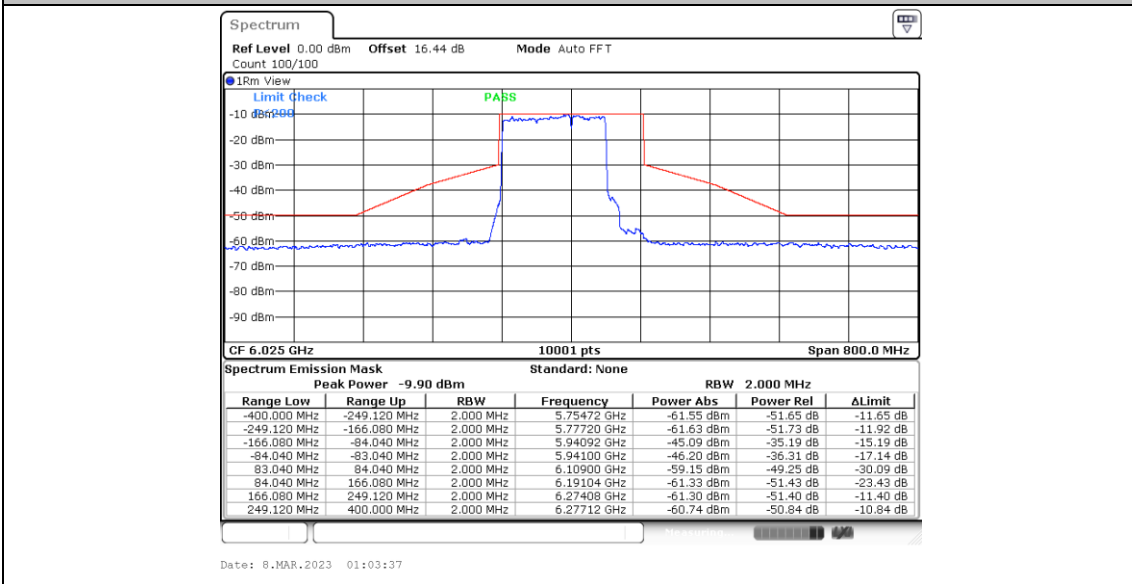
11BE160MIMO_Ant5_6025_Puncturing 40M_2



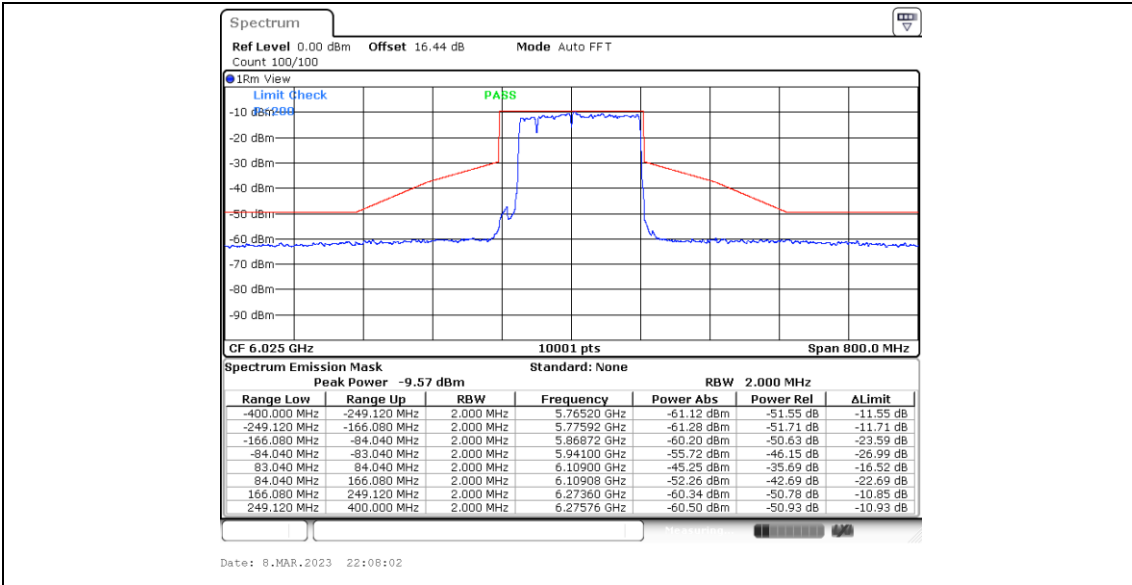
11BE160MIMO_Ant5_6025_Puncturing 40M_3



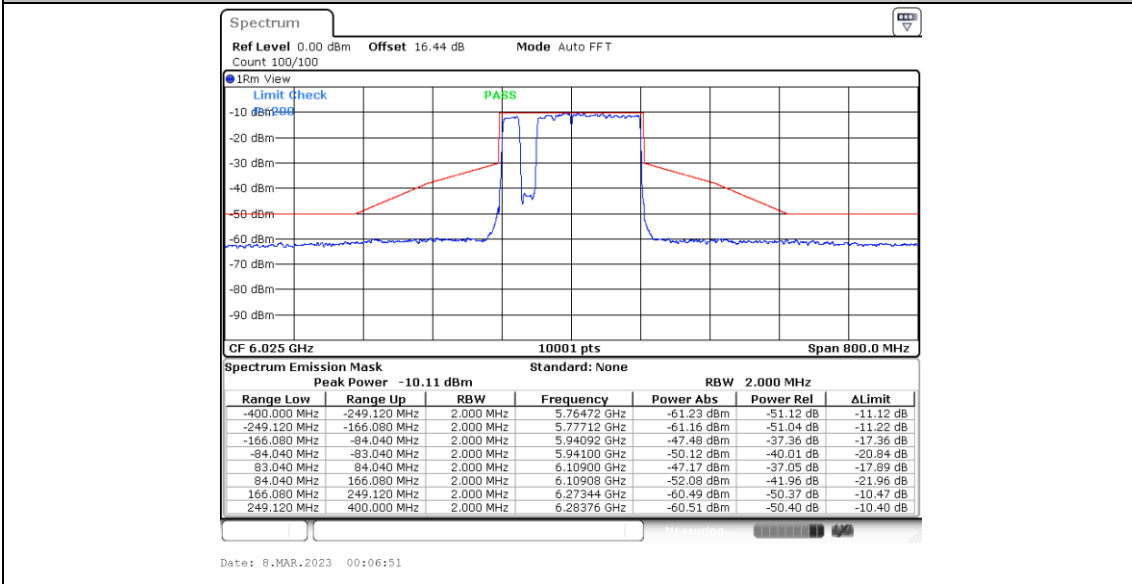
11BE160MIMO_Ant5_6025_Puncturing 40M_4



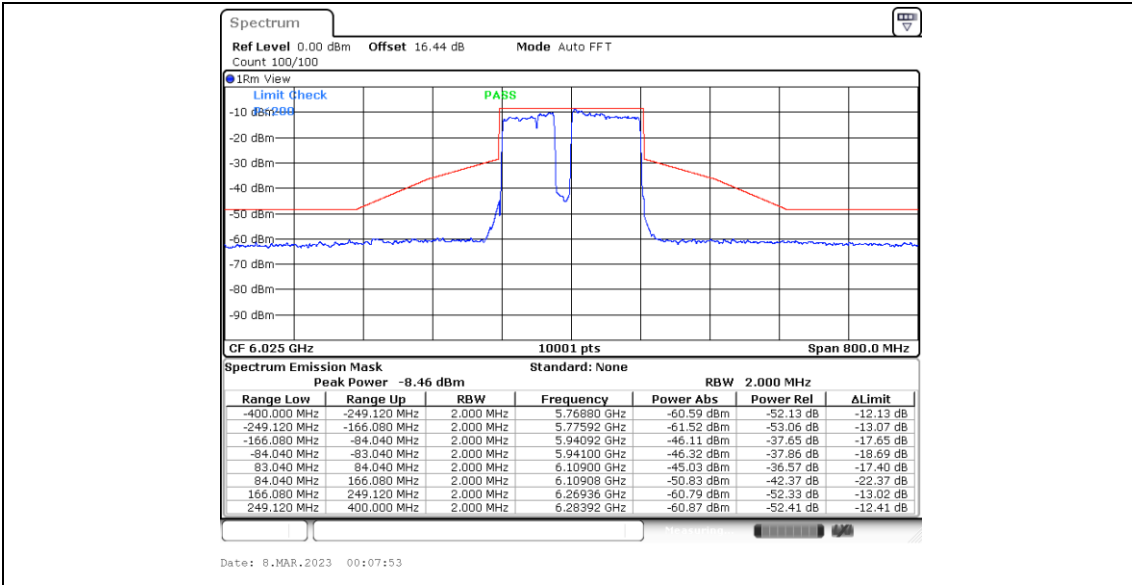
11BE160MIMO_Ant5_6025_Puncturing 20M_1



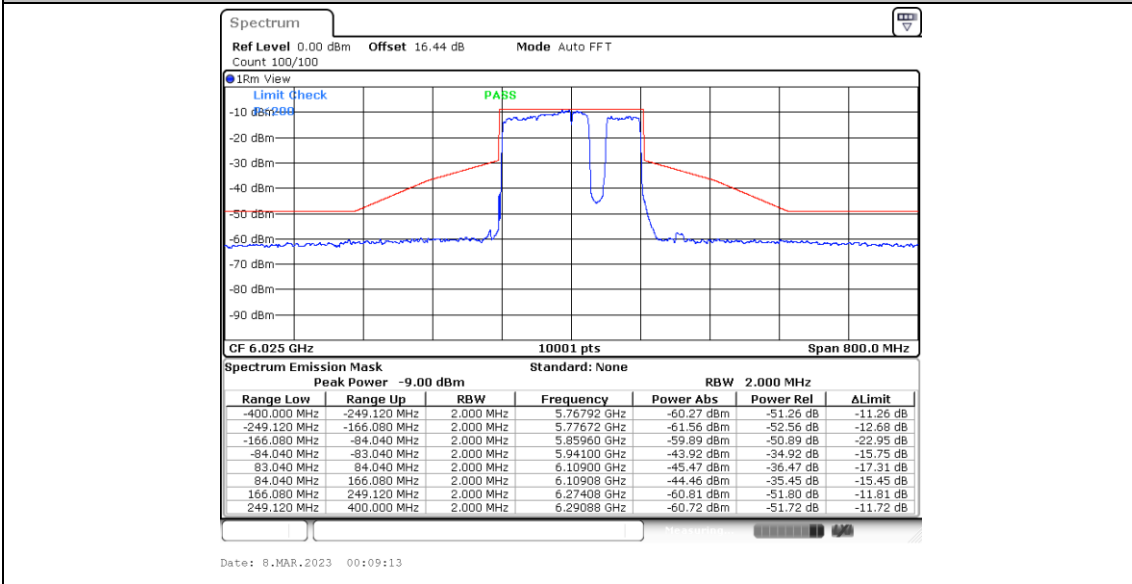
11BE160MIMO_Ant5_6025_Puncturing 20M_2



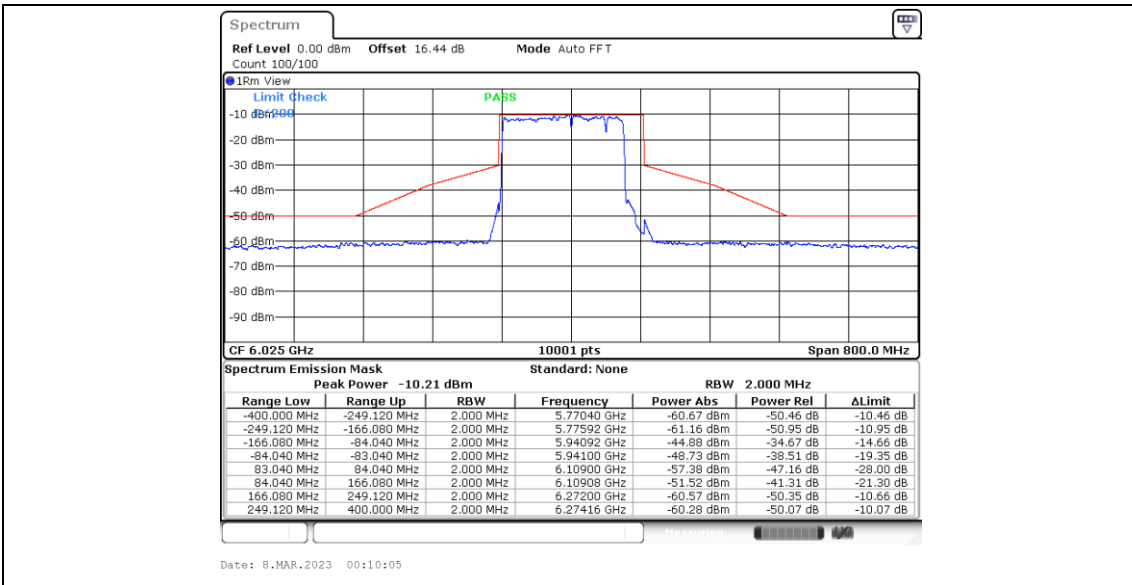
11BE160MIMO_Ant5_6025_Puncturing 20M_4



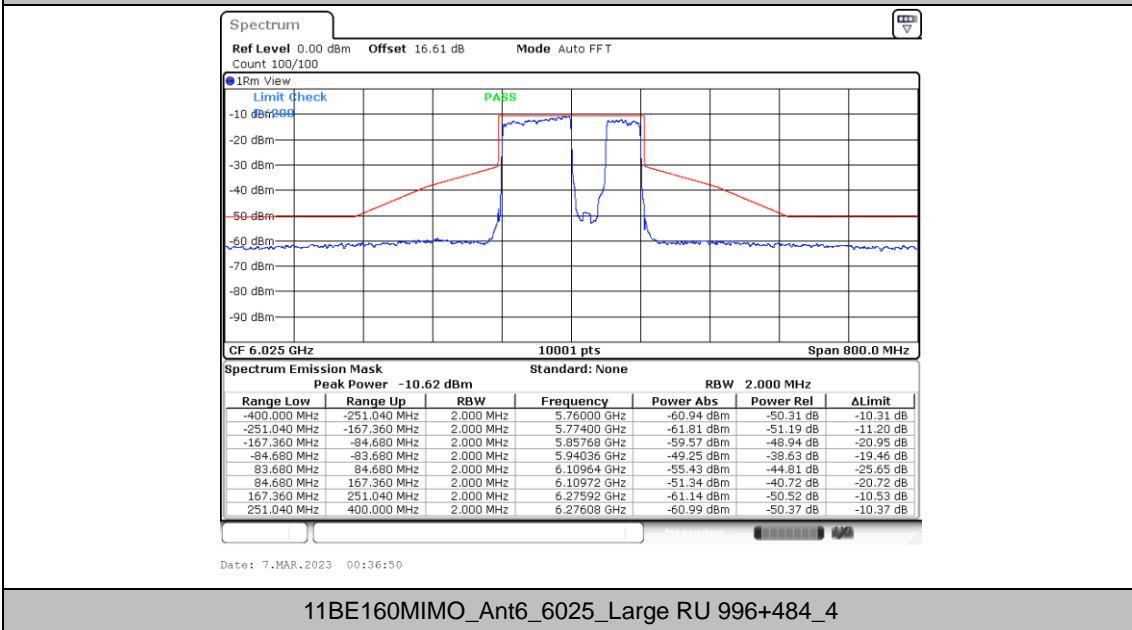
11BE160MIMO_Ant5_6025_Puncturing 20M_6



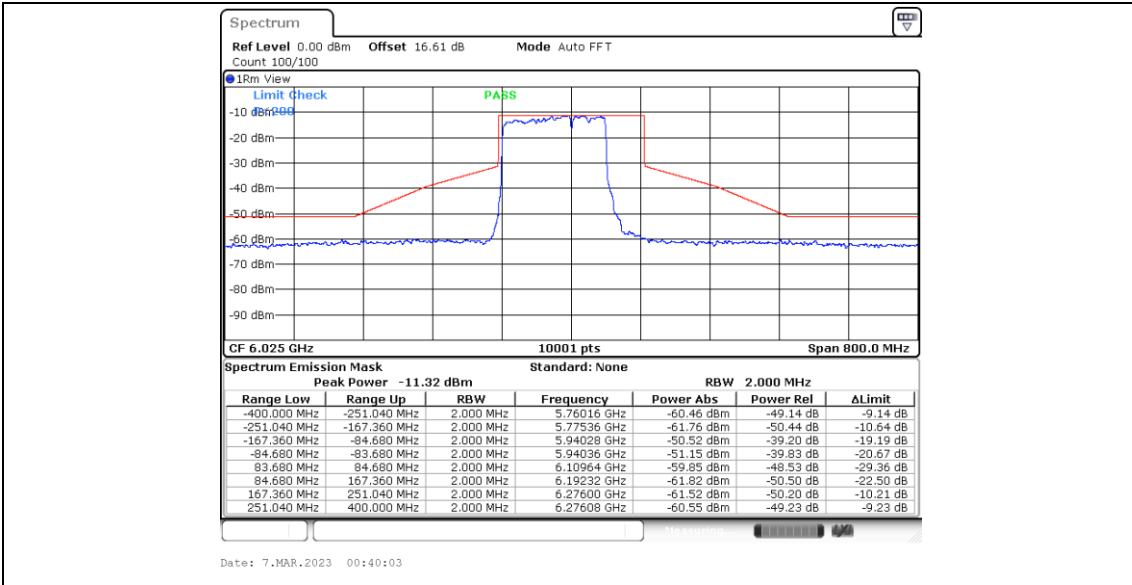
11BE160MIMO_Ant5_6025_Puncturing 20M_8



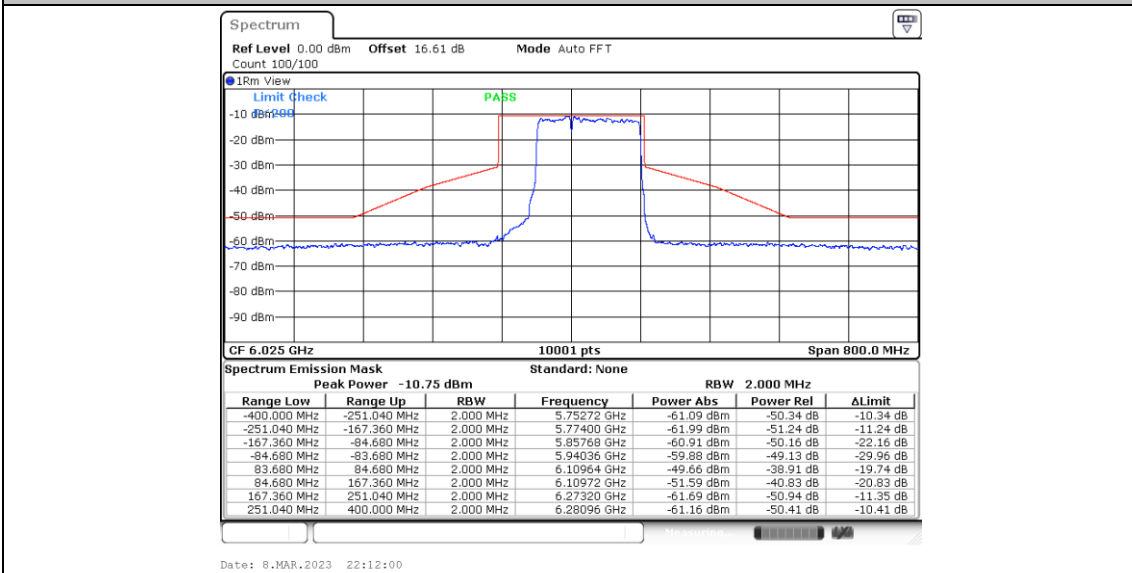
11BE160MIMO_Ant6_6025_Large RU 996+484_3



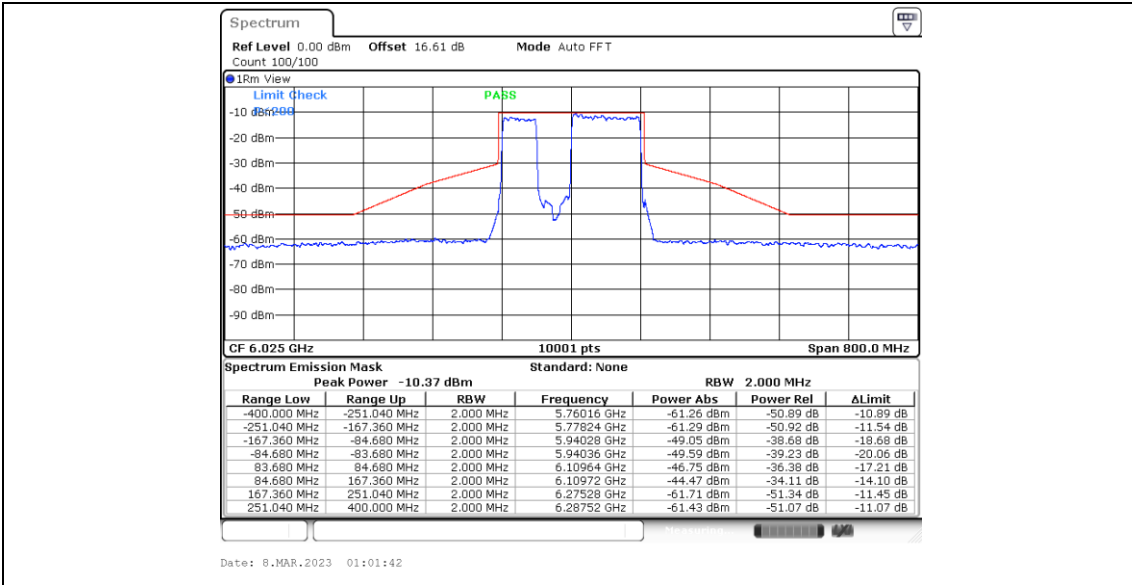
11BE160MIMO_Ant6_6025_Large RU 996+484_4



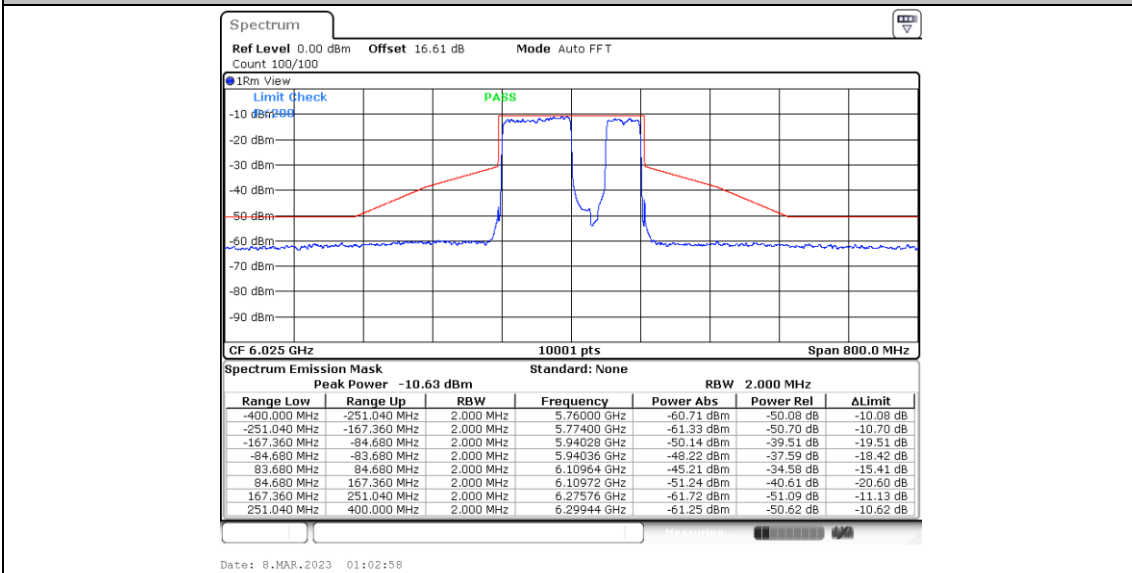
11BE160MIMO_Ant6_6025_Puncturing 40M_1



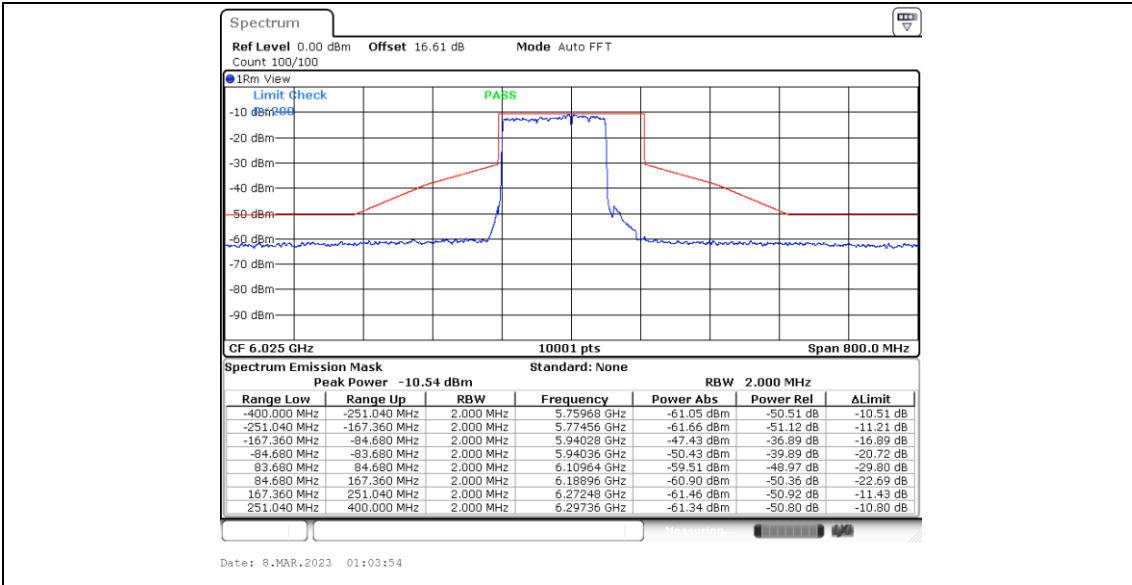
11BE160MIMO_Ant6_6025_Puncturing 40M_2



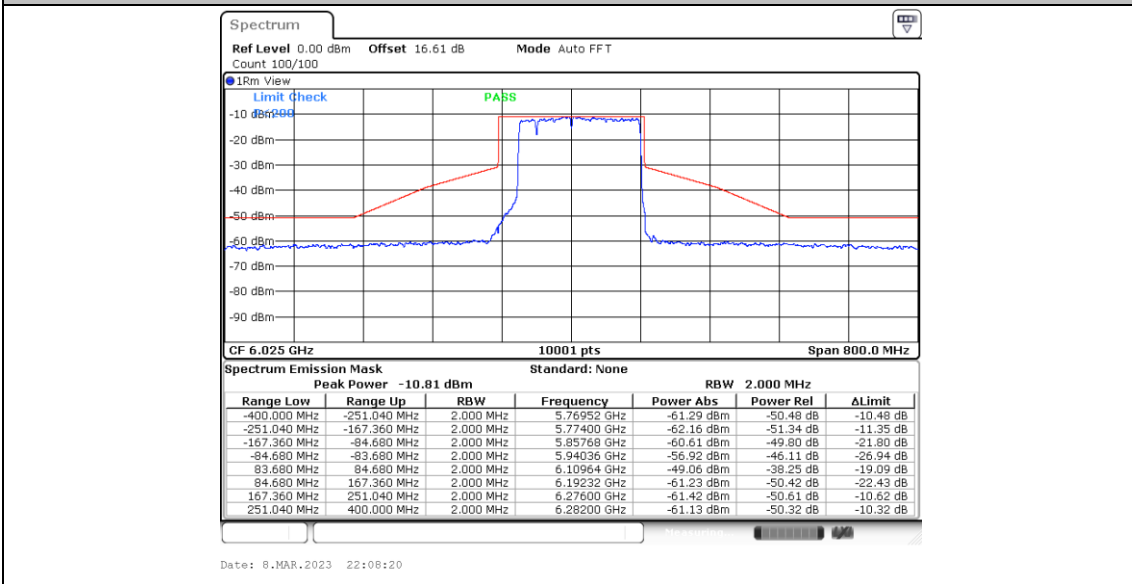
11BE160MIMO_Ant6_6025_Puncturing 40M_3



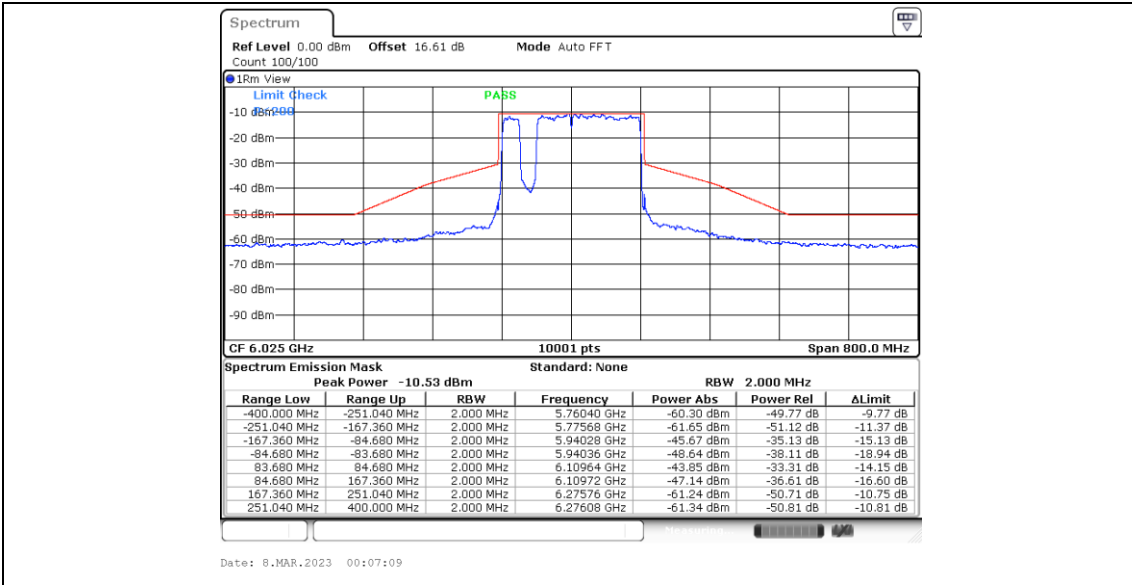
11BE160MIMO_Ant6_6025_Puncturing 40M_4



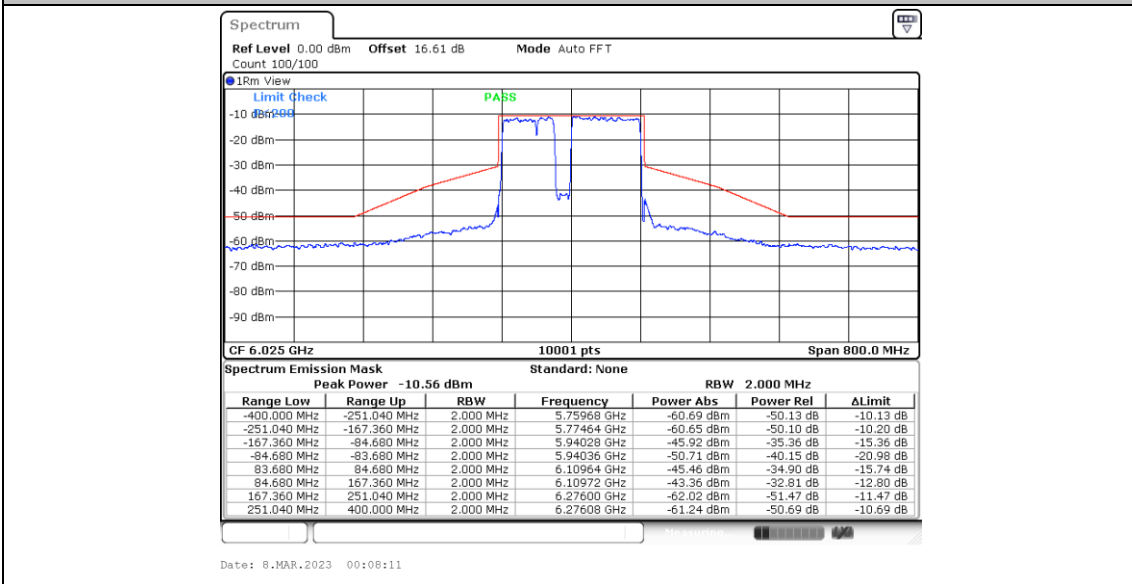
11BE160MIMO_Ant6_6025_Puncturing 20M_1



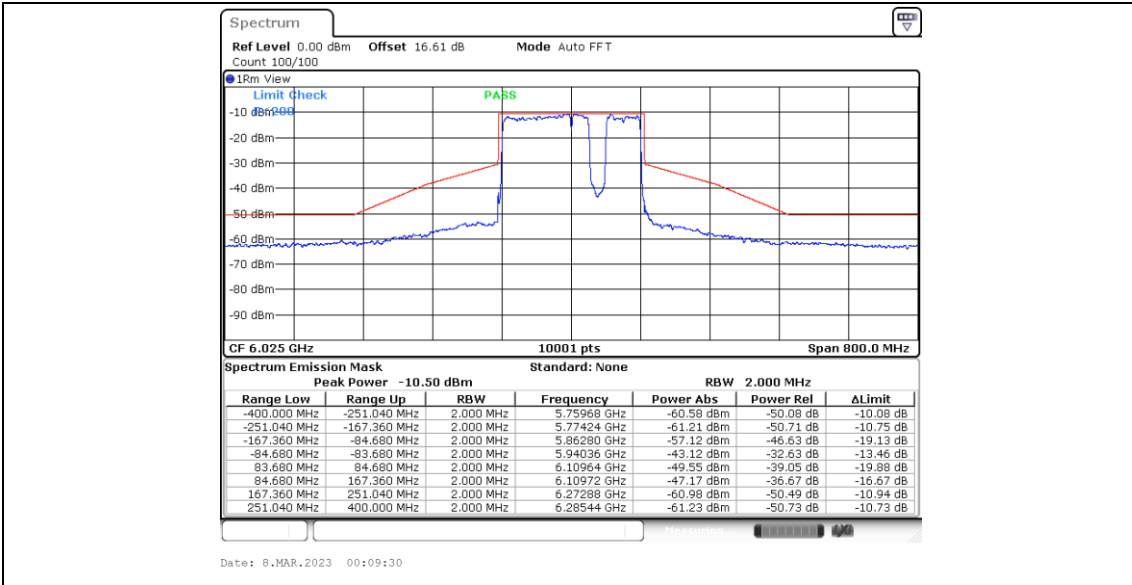
11BE160MIMO_Ant6_6025_Puncturing 20M_2



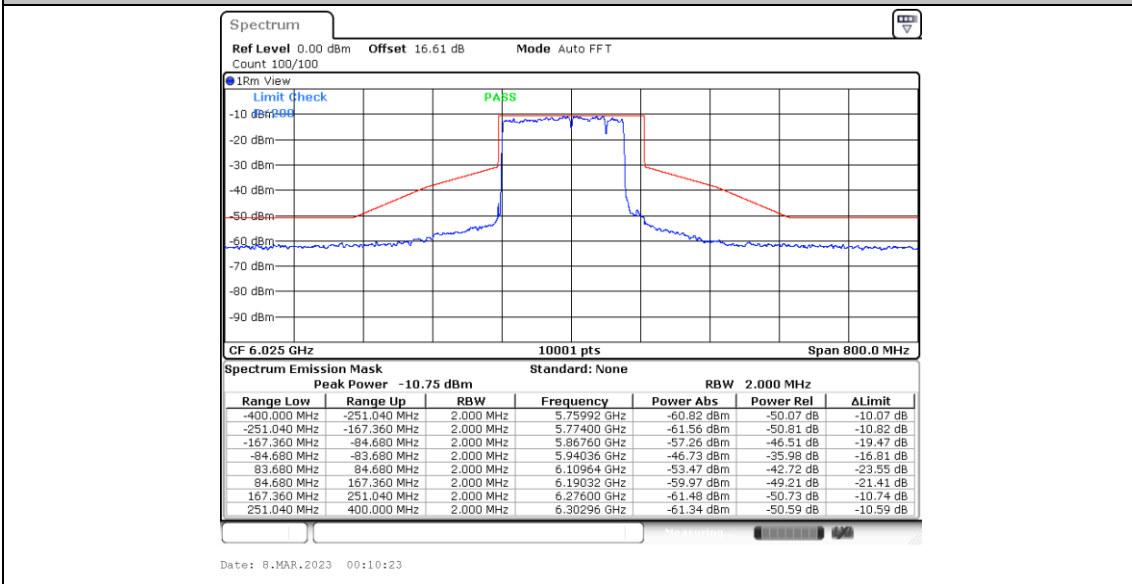
11BE160MIMO_Ant6_6025_Puncturing 20M_4



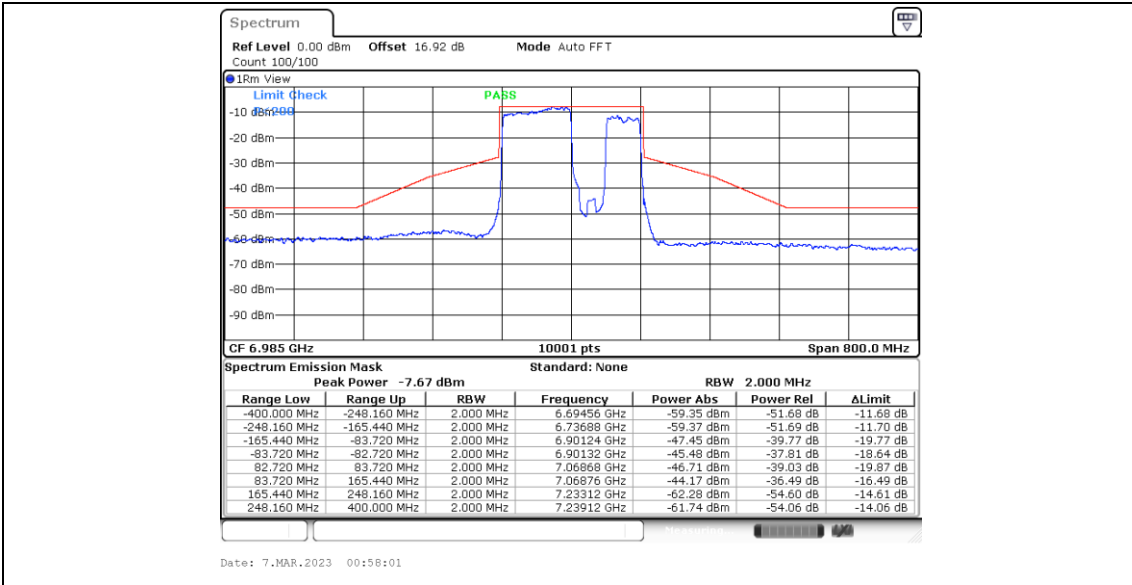
11BE160MIMO_Ant6_6025_Puncturing 20M_6



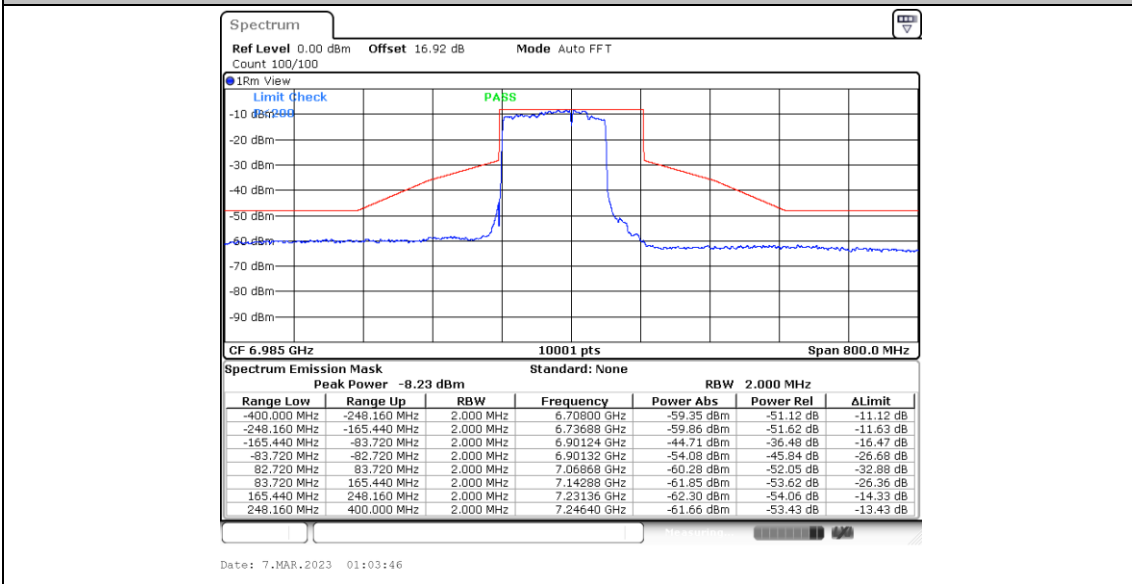
11BE160MIMO_Ant6_6025_Puncturing 20M_8



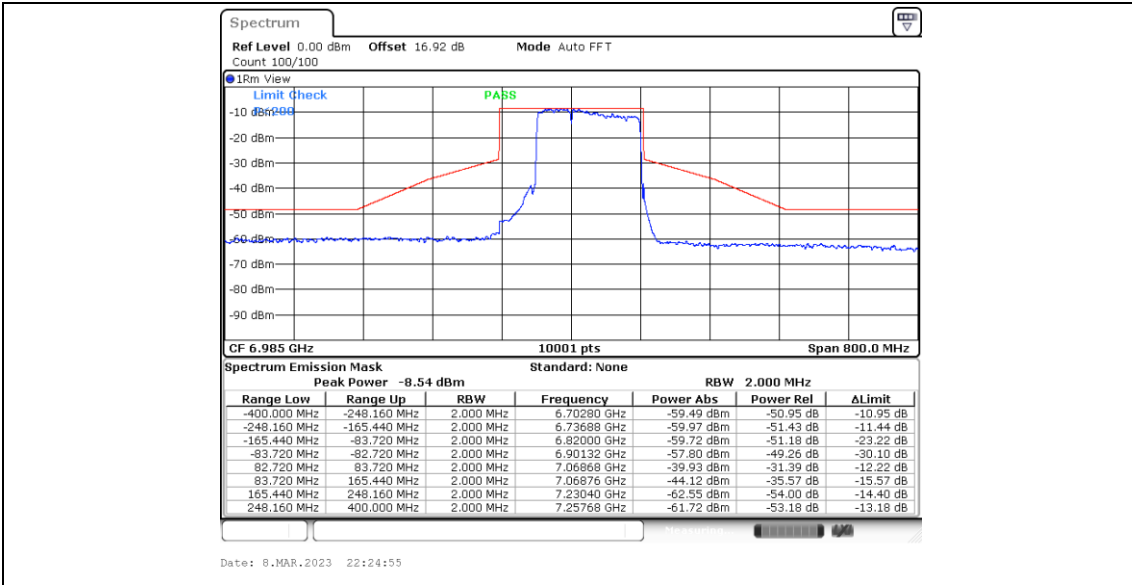
11BE160MIMO_Ant5_6985_Large RU 996+484_3



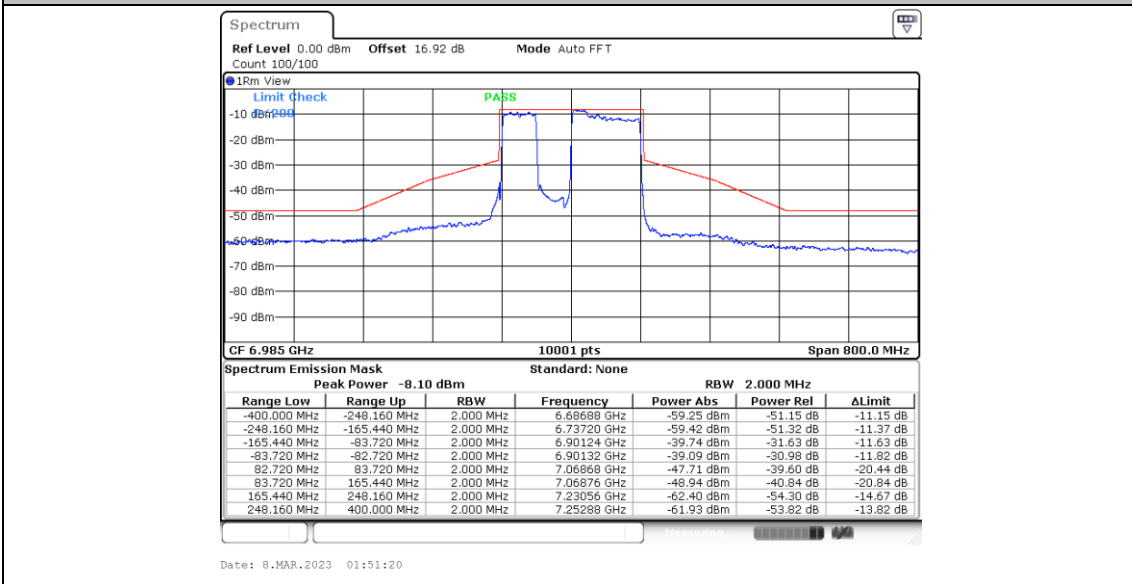
11BE160MIMO_Ant5_6985_Large RU 996+484_4



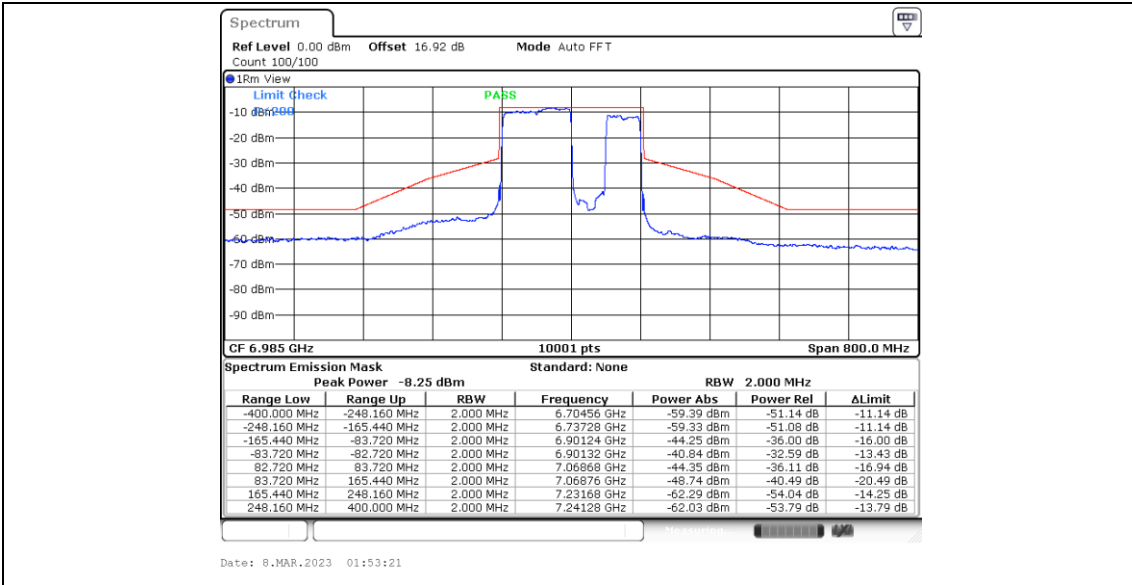
11BE160MIMO_Ant5_6985_Puncturing 40M_1



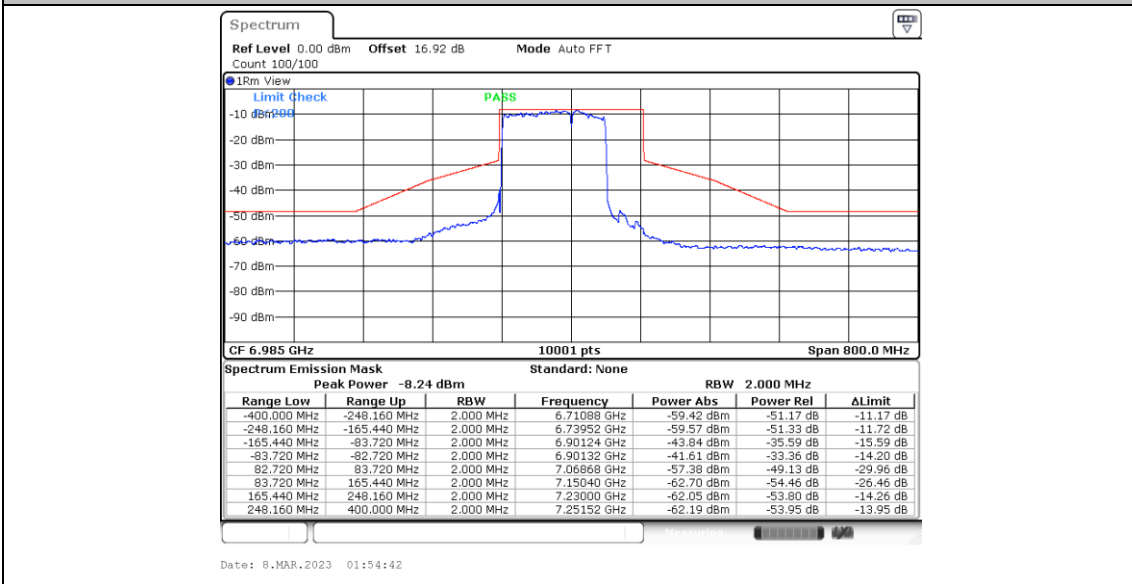
11BE160MIMO_Ant5_6985_Puncturing 40M_2



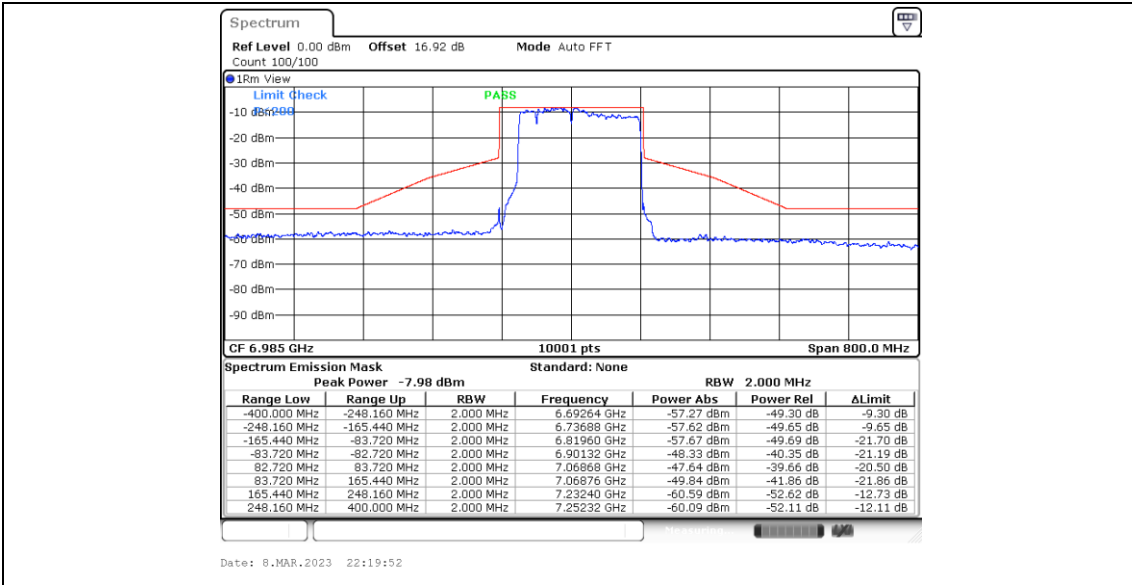
11BE160MIMO_Ant5_6985_Puncturing 40M_3



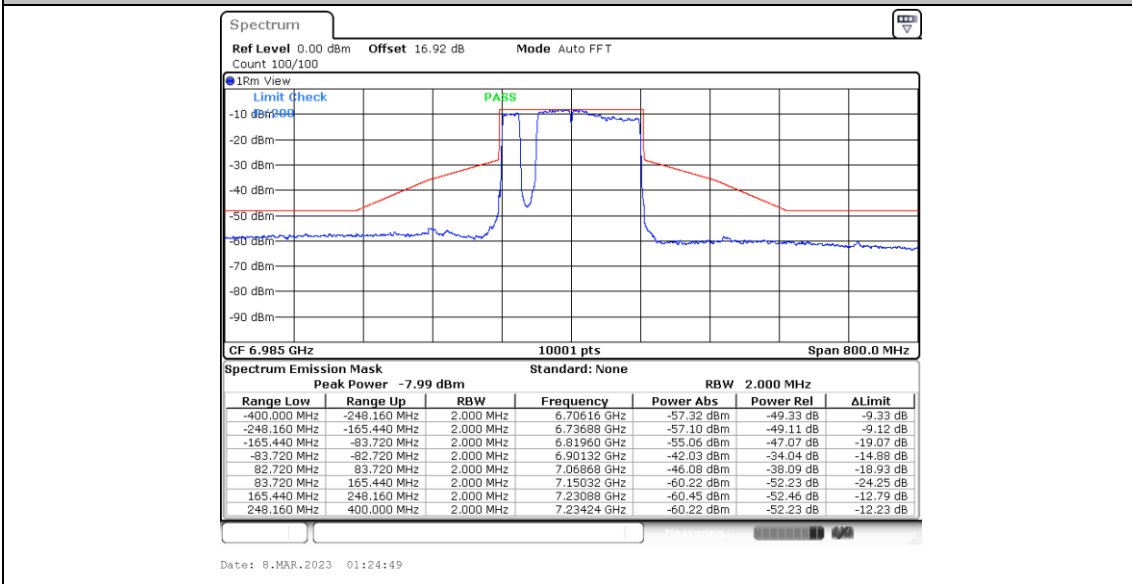
11BE160MIMO_Ant5_6985_Puncturing 40M_4



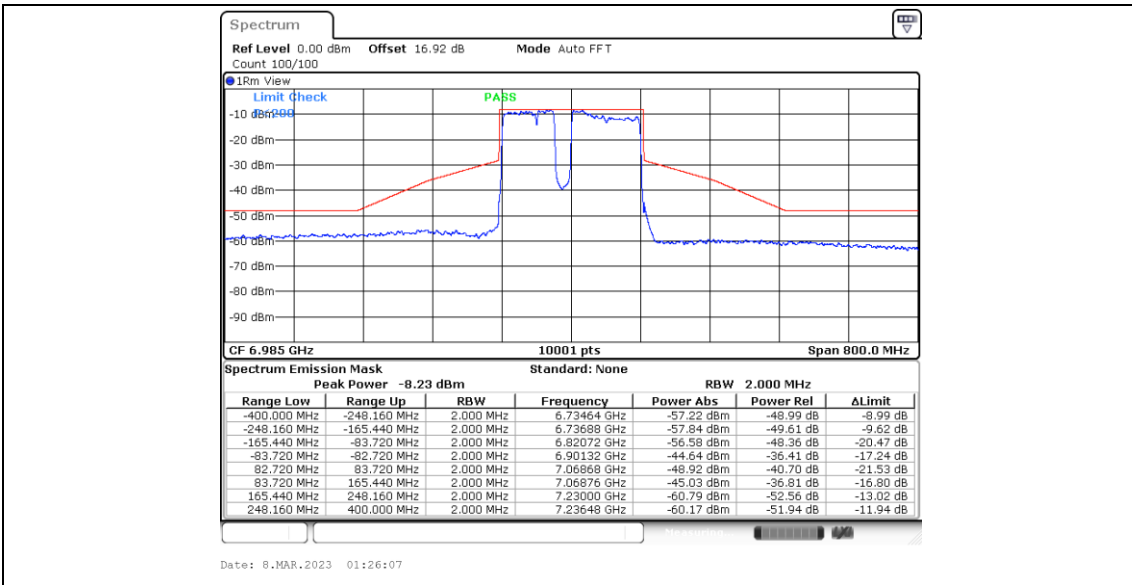
11BE160MIMO_Ant5_6985_Puncturing 20M_1



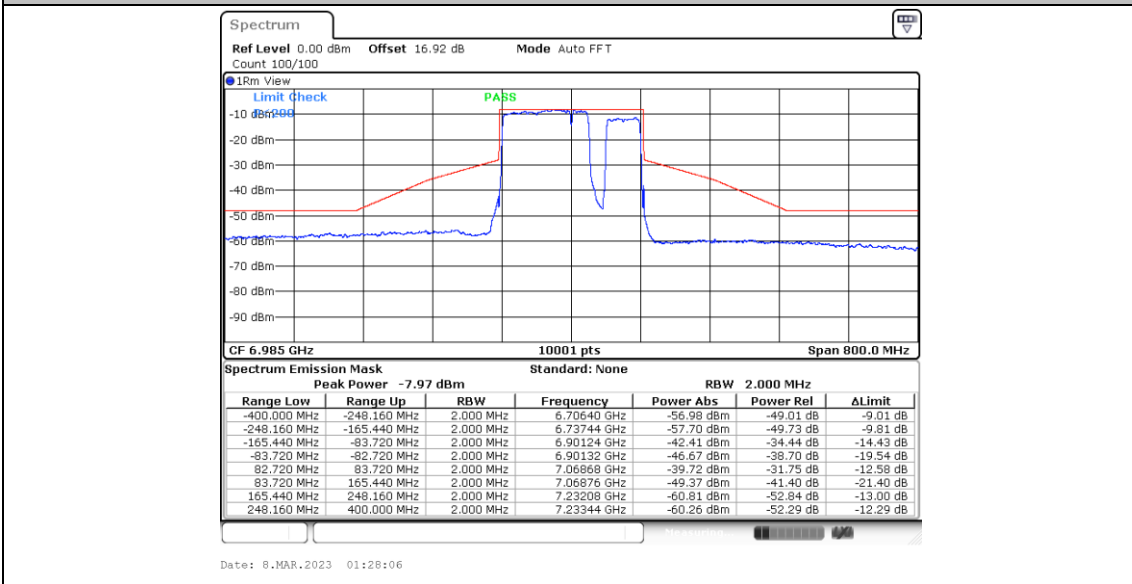
11BE160MIMO_Ant5_6985_Puncturing 20M_2



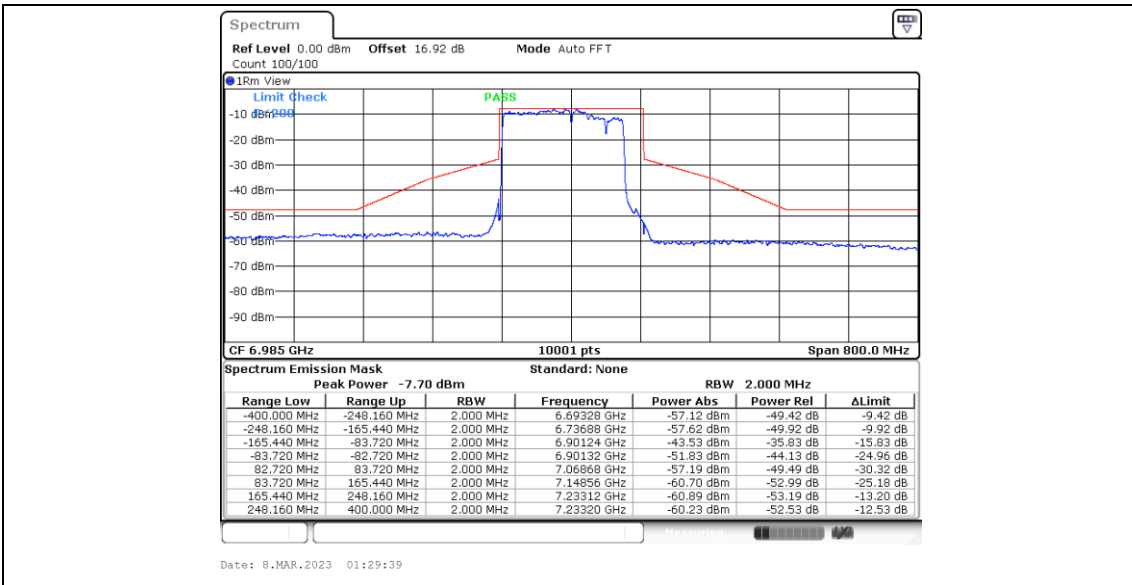
11BE160MIMO_Ant5_6985_Puncturing 20M_4



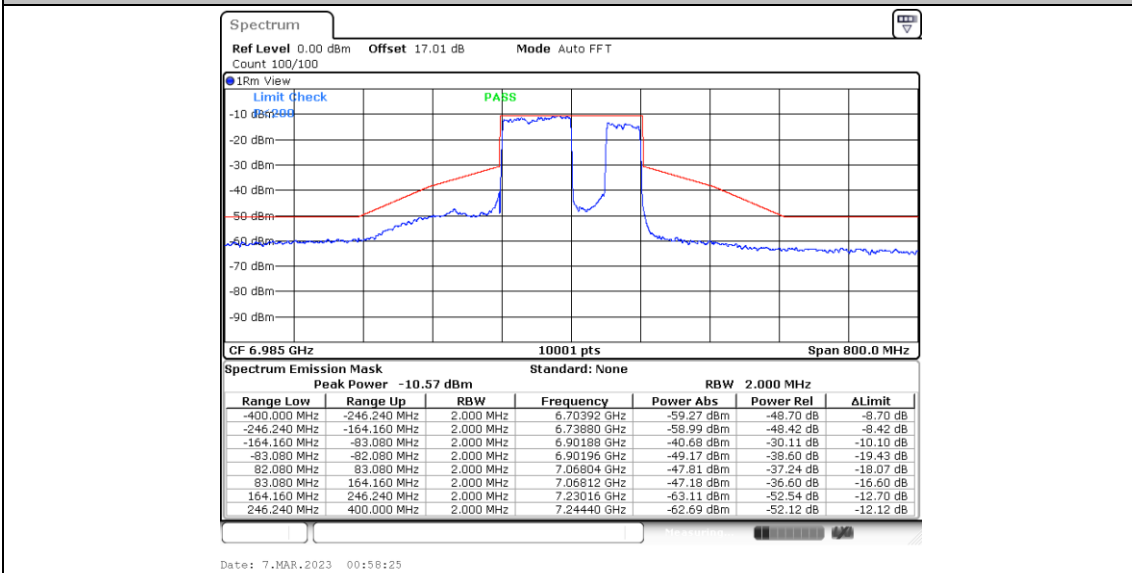
11BE160MIMO_Ant5_6985_Puncturing 20M_6



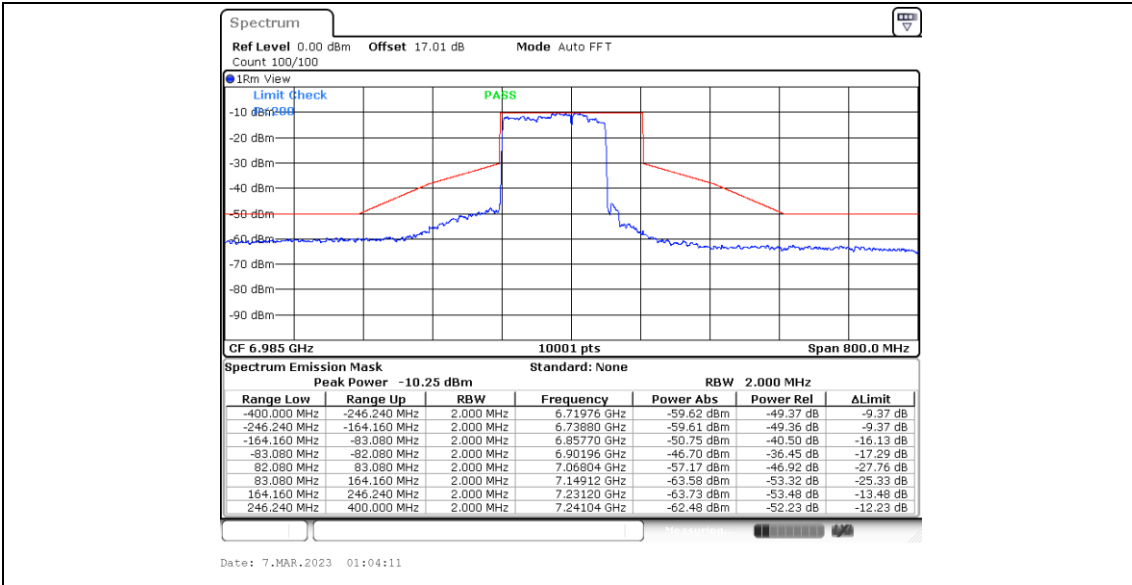
11BE160MIMO_Ant5_6985_Puncturing 20M_8



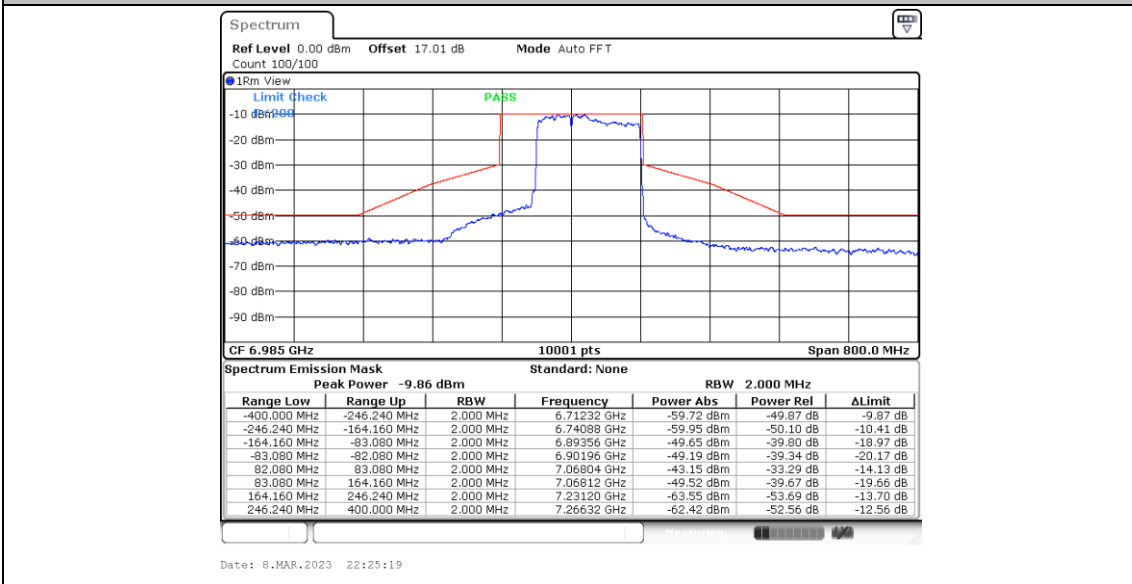
11BE160MIMO_Ant6_6985_Large RU 996+484_3



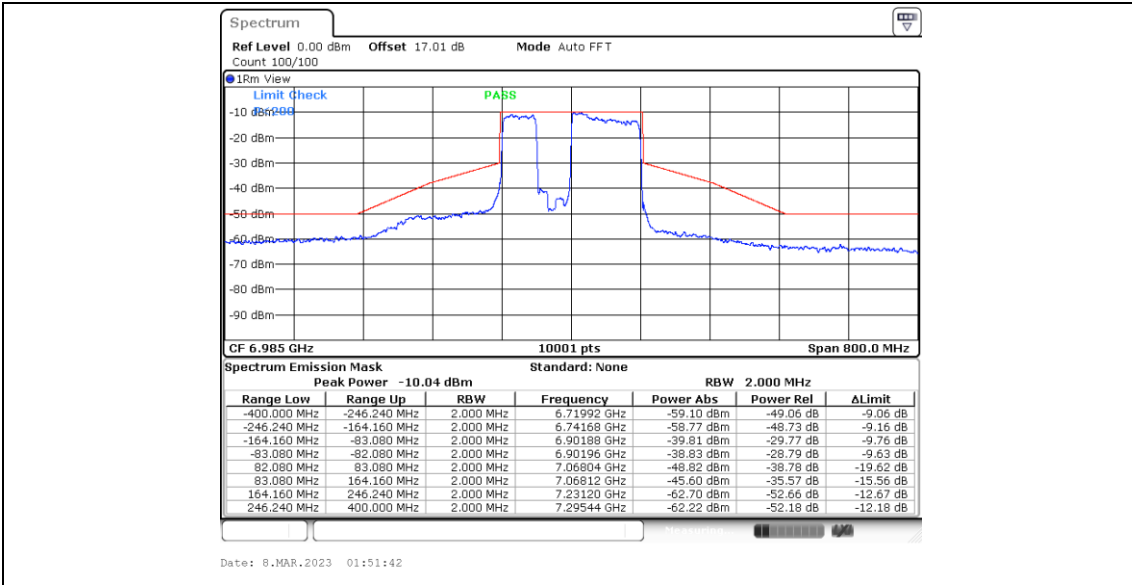
11BE160MIMO_Ant6_6985_Large RU 996+484_4



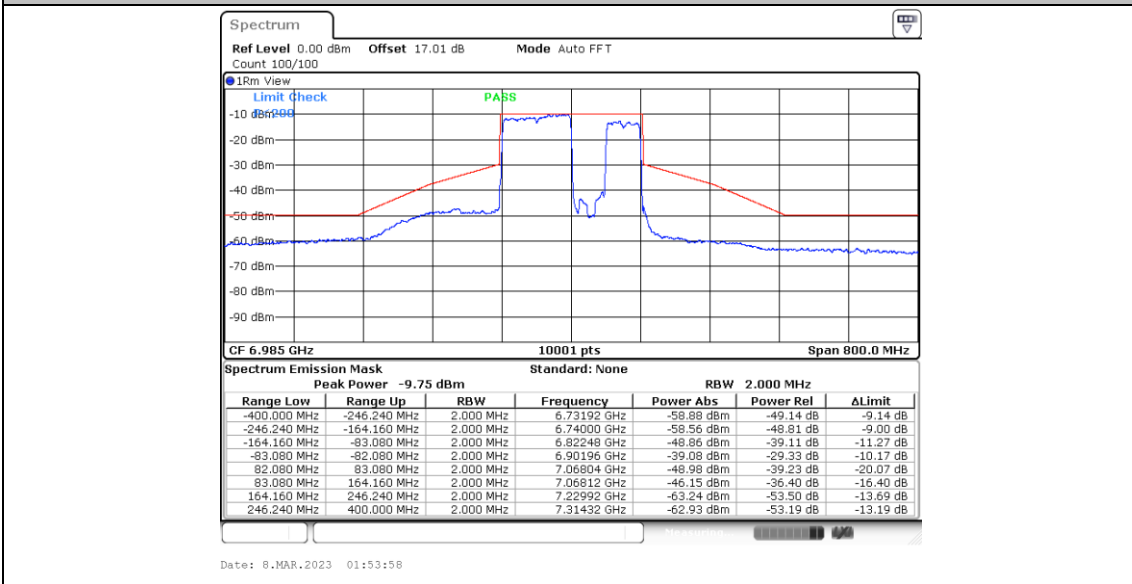
11BE160MIMO_Ant6_6985_Puncturing 40M_1



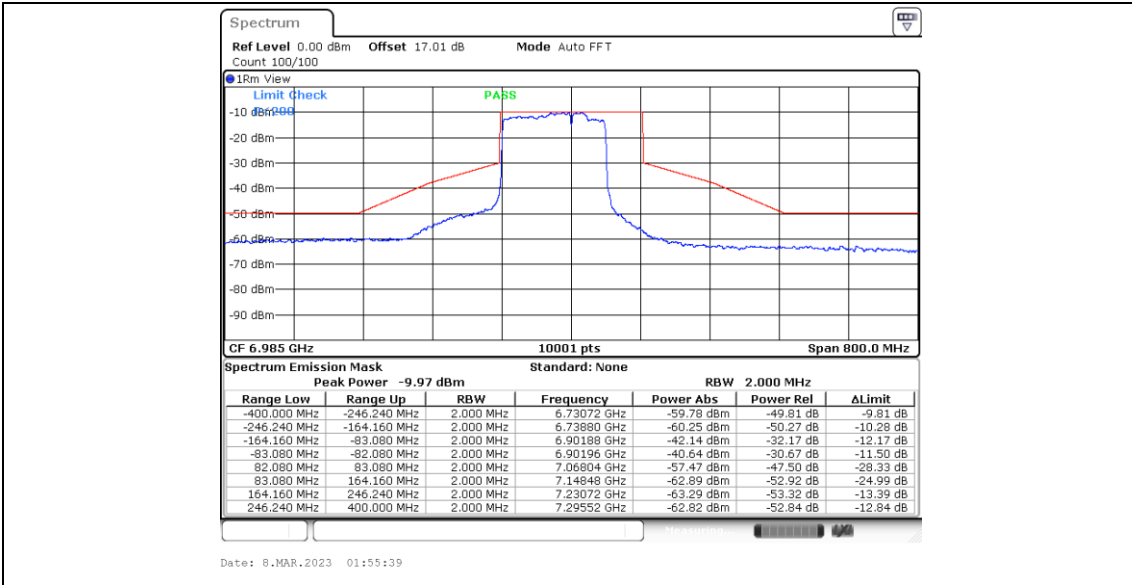
11BE160MIMO_Ant6_6985_Puncturing 40M_2



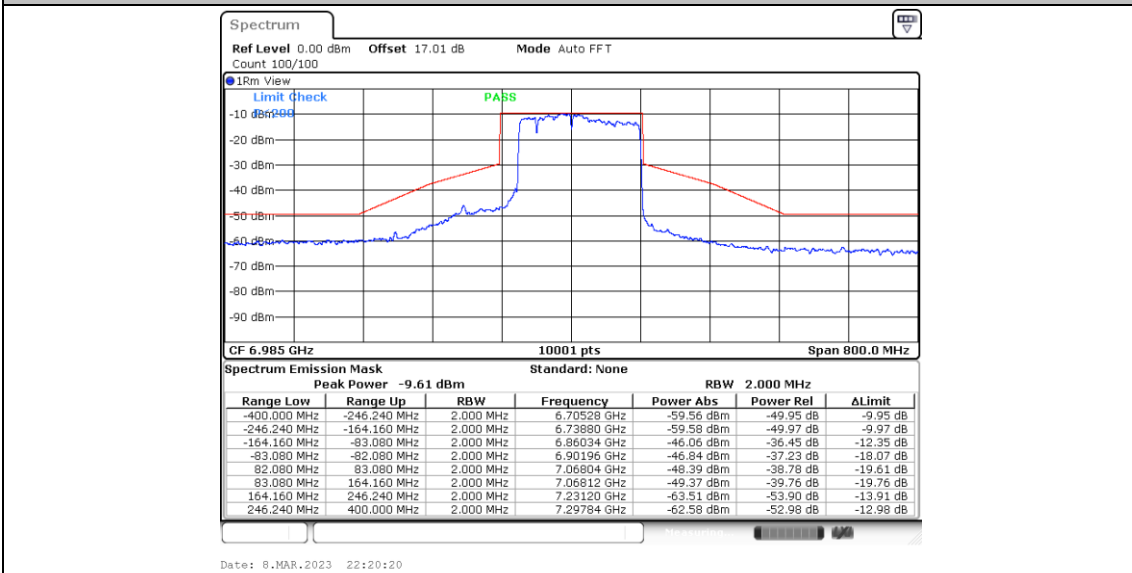
11BE160MIMO_Ant6_6985_Puncturing 40M_3



11BE160MIMO_Ant6_6985_Puncturing 40M_4



11BE160MIMO_Ant6_6985_Puncturing 20M_1



11BE160MIMO_Ant6_6985_Puncturing 20M_2